

T.C.
SAKARYA ÜNİVERSİTESİ
FEN BİLİMLERİ ENSTİTÜSÜ

**BANKİ TİPİ TÜRBİNLERDE DEBİYE VE KANAT
AÇISINA BAĞLI PERFORMANSIN DENEYSEL
ARAŞTIRILMASI**

YÜKSEK LİSANS TEZİ

Faruk KOÇ

Enstitü Anabilim Dalı : MAKİNE MÜHENDİSLİĞİ
Enstitü Bilim Dalı : ENERJİ
Tez Danışmanı : Dr.Öğr.Üyesi Ünal UYSAL

Mayıs 2019

T.C.
SAKARYA ÜNİVERSİTESİ
FEN BİLİMLERİ ENSTİTÜSÜ

**BANKİ TİPİ TÜRBİNLERDE DEBİYE VE KANAT
AÇISINA BAĞLI PERFORMANSIN DENEYSEL
ARAŞTIRILMASI**

YÜKSEK LİSANS TEZİ

Faruk KOÇ

Enstitü Anabilim Dalı : MAKİNE MÜHENDİSLİĞİ

Enstitü Bilim Dalı : ENERJİ

**Bu tez tarihinde aşağıdaki jüri tarafından oybirliği / oyçokluğu
ile kabul edilmiştir.**

**Dr.Öğr.Üyesi
Ünal UYSAL
Jüri Başkanı**

Üye

Üye

BEYAN

Tez içindeki tüm verilerin akademik kurallar çerçevesinde tarafımdan elde edildiğini, görsel ve yazılı tüm bilgi ve sonuçların akademik ve etik kurallara uygun şekilde sunulduğunu, kullanılan verilerde herhangi bir tahrifat yapılmadığını, başkalarının eserlerinden yararlanılması durumunda bilimsel normlara uygun olarak atıfta bulunulduğunu, tezde yer alan verilerin bu üniversite veya başka bir üniversitede herhangi bir tez çalışmasında kullanılmadığını beyan ederim.

Faruk KOÇ

07.05.2019

TEŐEKKÜR

Yüksek lisans eğitimin boyunca değerli bilgi ve deneyimlerinden yararlandığım, her konuda bilgi ve desteğini almaktan çekinmediğim, araştırmanın planlanmasından yazılmasına kadar tüm aşamalarında yardımlarını esirgemeyen, teşvik eden, aynı titizlikte beni yönlendiren değerli danışman hocam Dr. Öğr. Üyesi Ünal UYSAL'a teşekkürlerimi sunarım.

Türbin Test Merkezi olanaklarını kullanmamıza fırsat veren, bilimsel çalışmalarını destekleyen ve yardımlarını esirgemeyen T.C. Enerji ve Tabii Kaynaklar Bakanlığı (TEMSAN) Türkiye Elektromekanik Sanayi A.Ő. Genel Müdürlüğü'ne, özellikle Yüksek Gerilim Proje Müdürü Ömür BINARBAŐI'na, bilgi ve deneyimlerinden yararlandığım Ar-Ge Müdürü Oğuzhan BENDEŐ'e teşekkür ederim.

Ayrıca, maddi ve manevi desteklerini her an yanımda hissettiğim aileme sükranlarımı sunuyorum.

İÇİNDEKİLER

TEŞEKKÜR	i
İÇİNDEKİLER	ii
SİMGELER VE KISALTMALAR LİSTESİ	iv
ŞEKİLLER LİSTESİ	vi
TABLOLAR LİSTESİ	vii
ÖZET	ix
SUMMARY	x

BÖLÜM 1.

GİRİŞ	1
1.1. Hidroelektrik Santraller Hakkında Genel Bilgiler	2
1.2. Türbinlerin Sınıflandırılması	4
1.2.1. Güçlerine göre türbinler	4
1.2.2. Etki şekillerine göre türbinler	4
1.2.3. Özgül hıza göre türbinler	4
1.3. Türbinlerin Tipleri	5
1.3.1. Francis tipi türbinler	5
1.3.2. Kaplan tipi türbinler	7
1.3.3. Pelton tipi türbinler	7

BÖLÜM 2.

LİTERATÜR ARAŞTIRMASI	9
-----------------------------	---

BÖLÜM 3.

BANKİ TÜRBİNLERİ	13
3.1. Genel Bilgiler	13

3.2. Banki Türbini Tasarımı	15
3.2.1. Temel tanımlar	15
3.2.2. Hız üçgenleri	16
3.2.3. Banki türbini boyutları	18
3.2.4. Test türbini parametreleri	20
BÖLÜM 4.	
TEST DÜZENEGİ	23
4.1. Türbin Test Merkezi	23
4.1.1. Düşünün ölçülmesi	24
4.1.2. Debinin ölçülmesi	25
4.1.3. Devir sayısının ölçülmesi	26
4.1.4. Mekanik tork ölçümü	27
4.1.5. Kontrol kumanda sistemi	28
4.1.6. Hidrolik ünite	30
4.1.7. Pompalar ve sürücüler	31
4.1.8. Alternatör (generatör)	33
4.2. Deneyin Yapılışı	33
4.3. Hata Analizi	34
4.3.1. Kline-McClintoc Yöntemine Göre Hata Analizi	34
4.3.2. Akılcı Yaklaşım Metoduna Göre Hata Analizi	35
BÖLÜM 5.	
TARTIŞMA VE SONUÇ	36
KAYNAKLAR	41
EKLER	44
ÖZGEÇMİŞ	48

SİMGELER VE KISALTMALAR LİSTESİ

A	: Çarka girişte akış kesiti (m^2)
a	: Radyal çark genişliği (m)
b	: Rotor genişliği (m)
c	: Mutlak hız (m/s)
D1	: Çark dış çapı (m)
D2	: Çark iç çapı (m)
DSİ	: Devlet su işleri genel müdürlüğü
g	: Yerçekimi ivmesi (m/s^2)
HAD	: Hesaplamalı akışkanlar dinamiği
HES	: Hidroelektrik santral
H_n	: Net düşü (m)
H_g	: Suyun en üst seviyesinden türbine kadar olan yüksekliği
H_k	: Türbine kadar olan kayıpları (boru, dirsek, sürtünme vb.)
n	: Devir sayısı (d/d)
n_q	: Özgül hız (d/d) (debiye bağlı)
n_s	: Özgül hız (d/d) (etkin güce bağlı)
N_e	: Etkin güç (kW)
q	: Suyun debisi - türbin tasarım debisi (m^3/s)
r	: Türbin yarıçapı (m)
s_0	: Çarka girişte su jeti kalınlığı (m)
s_1	: Kanatlar arası açıklık (m)
s_2	: Kanatlar arası açıklık (iç) (m)
TEMSAN	: Türkiye Elektromekanik Sanayi A.Ş.
v	: Su hızı (m/s)
w	: Bağlı hız (m/s)
z	: Kanat sayısı

α_1	Giriş (hücum) açısı
α_2	Merkez açısı
β	Bağlı açısı
θ	Ayar kanadı açısı
η_t	Türbin verimi
ρ	Yoğunluk (kg/m^3)
ω	Açısal hız (1/s)

ŞEKİLLER LİSTESİ

Şekil 1.1. Hidroelektrik santral genel kesiti ve ana ekipmanları	3
Şekil 1.2. Türbin genel görünüşü ve türbin ana ekipmanları	3
Şekil 1.3. Francis türbin çarkı	6
Şekil 1.4. Kaplan türbin çarkı	7
Şekil 1.5. Pelton tipi türbin çarkı	8
Şekil 3.1. Türbin seçim diyagramı	13
Şekil 3.2. Banki türbini ile francis türbini debiye bağlı verim eğrilerinin karşılaştırılması	14
Şekil 3.3. Banki türbini oluşturan ekipmanlar ve genel görünüşü	14
Şekil 3.4. Banki su türbini hız üçgenleri	17
Şekil 3.5. Banki türbini su jeti görünümü	19
Şekil 3.6. Banki türbini çarkı	20
Şekil 3.7. Testte kullanılan banki türbini resimleri	21
Şekil 4.1. Türbin test merkezi	23
Şekil 4.2. Basınç sensörü ve kollektör	24
Şekil 4.3. Türbin giriş basıncı ölçümü	25
Şekil 4.4. Manyetik debimetre	26
Şekil 4.5. Türbin devir sayısı ölçüm sistemi	26
Şekil 4.6. Manuel devir sayısı okuyucu	27
Şekil 4.7. Torkmetre türbin mili bağlantısı	27
Şekil 4.8. Torkmetre dönen parça iç yapısı	28
Şekil 4.9. Torkmetre parçaları	28
Şekil 4.10. Kontrol ve kumanda sistemi	29
Şekil 4.11. Kontrol kumanda ekranı	29
Şekil 4.12. Hidrolik ünite	30
Şekil 4.13. Ayar kanadı hidrolik pistonu	30

Şekil 4.14. Santrifüj pompa grubu	31
Şekil 4.15. Kademeli pompa grubu	32
Şekil 4.16. Pompa sürücü ve inventörleri	32
Şekil 4.17. Generatör (alternatör)	33
Şekil 5.1. H=10m düşüde, debiye bağlı güç değişimi	37
Şekil 5.2. Debiye bağlı güç değişimi (10m, 15m, 20m, 30m, 40m düşülerde) ..	37
Şekil 5.3. H=10m düşüde debiye bağlı verim değişimi	38
Şekil 5.4. Debiye bağlı verim grafiği (10m, 15m, 20m, 30m, 40m düşülerde)	38
Şekil 5.5. H=10 m düşüde, ayar kanadı açıklığına bağlı debi değişimi	39
Şekil 5.6. Ayar kanadı açıklığına bağlı debi değişimi	39
Şekil 5.7. Düşü - devir sayısı grafiği	40

TABLolar LİSTESİ

Tablo 2.1. Kanat sayısına baęlı verim deęerleri	11
Tablo 2.2. Banki trbini deneysel alıřmaların zeti	12
Tablo 3.1. Banki test trbini tasarım verileri	21
Tablo 3.2. Banki test trbini boyutları	22
Tablo 5.1. Test parametreleri	36

ÖZET

Anahtar kelimeler: Banki Türbini, Mitchell Türbini, Ossberger Türbini, Çapraz Akışlı Türbinler, Türbin performans, Türbin verim

Bu çalışmanın amacı, net düşüsü az olan ülkemiz akarsularında çalışabilecek banki türbininin geliştirilmesidir. Akışkanlar mekaniği prensipleri yardımıyla tasarlanan, belirli su giriş açısındaki çark kanadının kullanıldığı, bir Banki türbininin debiye bağlı performans değerleri tespit edilmiştir. Türbinin çalışma koşullarının belirlenebilmesi için; Türkiye Elektromekanik Sanayi A.Ş. (TEMSAN) Genel Müdürlüğü Türbin Test Merkezi'nde kurulu çift emişli bir santrifüj pompanın beslediği test merkezinde, 20 metre düşü 400 l/sn debide çalışması için tasarlanan bir banki türbini testleri gerçekleştirilmiştir.

Test standında; 20 metre yükseklik ve 400 litre/sn çalışma koşullarında tasarlanan banki türbini; 10 m, 15 m, 20 m, 30 m ve 40 m yükseklik (düşü) ve değişken debilerde çalıştırılarak performans değerleri ölçülmüştür.

Suyun belirli bir giriş açısına bağlı olarak çark tasarımı yapılmış olup, türbinin tasarımdaki çalışma koşulları ile testler sonrası elde edilen sonuçlar karşılaştırılmıştır. Türbinin, tasarım değerlerindeki verimi ve ayrıca daha verimli çalışma noktaları tespit edilmiştir.

EXPERIMENTAL INVESTIGATION OF THE PERFORMANCE RELATED TO FLOW RATE AND THE BLADE ANGLE OF THE RUNNER IN BANKI TURBINES

SUMMARY

Keywords: Banki Turbine, Mitchell Turbine, Ossberger Turbine, cross-flow, efficiency of a banki

The purpose of this study is to develop the banki turbine which can work in our country which has low net drop. The performance values related the flow rate of a Banki turbine, which are designed with the help of fluid mechanics principles, and used the runner blade at the specific water inlet angle, has been identified.

The operating conditions of the türbine has been determine in the Turbine Test Center, which fed by a double suction centrifugal pump installed in Turkey Electromechanical Industry Co. (TEMSAN). The Banki turbine test designed for operation at the drop of 20 meters and a flow rate of 400 l/s was carried out in the test center.

Banki turbine, designed in 20 meter height and at 400 l/s flow rate operating conditions; The performance values were measured by operating at 10 m, 15 m, 20 m, 30 m and 40 m height (drop) and variable flow rates.

The runner design of the turbine has been compared according to the working conditions of the turbine and the results obtained after the tests. The efficiency of the turbine in design values as well as more efficient working points have been determined.

BÖLÜM 1. GİRİŞ

Günümüzde, teknolojinin gelişmesine paralel olarak artan enerji ihtiyacının karşılanabilmesinde yenilenebilir enerji kaynaklarının önemi de gün geçtikçe artmaktadır. Suyun sahip olduğu potansiyel enerjiyi türbinler aracılığıyla mekanik enerjiye, türbin miline bağlı alternatörler kullanılarak da elektrik enerjisine çeviren hidroelektrik santraller, yenilenebilir enerji kaynakları arasında büyük paya sahiptir. 2018 Haziran ayı sonu itibarıyla, işletmede bulunan 27.912 MW'lık kurulu güce sahip 636 adet Hidroelektrik Santral, Türkiye toplam kurulu gücünün %32'sine karşılık gelmektedir. Bununla birlikte toplam kurulu gücün; %26,4'ü doğal gaz, %21,4'ü kömür, %7,7'si rüzgâr, %5,4'ü güneş, %1,3'ü jeotermal ve %5,8'i ise diğer kaynaklar şeklindedir [1, 2].

Ülkemiz akarsularından maksimum faydanın elde edilebilmesi için tasarımı yerli, daha verimli türbinlerin kullanılması ve ayrıca türbini oluşturan aksamaların iç piyasada imal ettirilmesi ile dışa bağımlılığın azaltılması amaçlanmaktadır.

Değişik hidroelektrik santrallerde kullanılan her türbinin çalıştığı, düşü (Hn) ve debi (Q) değerleri birbirinden farklıdır. Santraldeki türbinlerin projelendirilmesinde, suyun düşü ve debi bilgileri ana parametrelerdir. Türbin tipi seçimleri bu parametrelere göre yapılmaktadır. Türbin seçimlerinde, üreticilerinin kullandığı debi ve düşüye bağlı değişik diyagramlar mevcuttur.

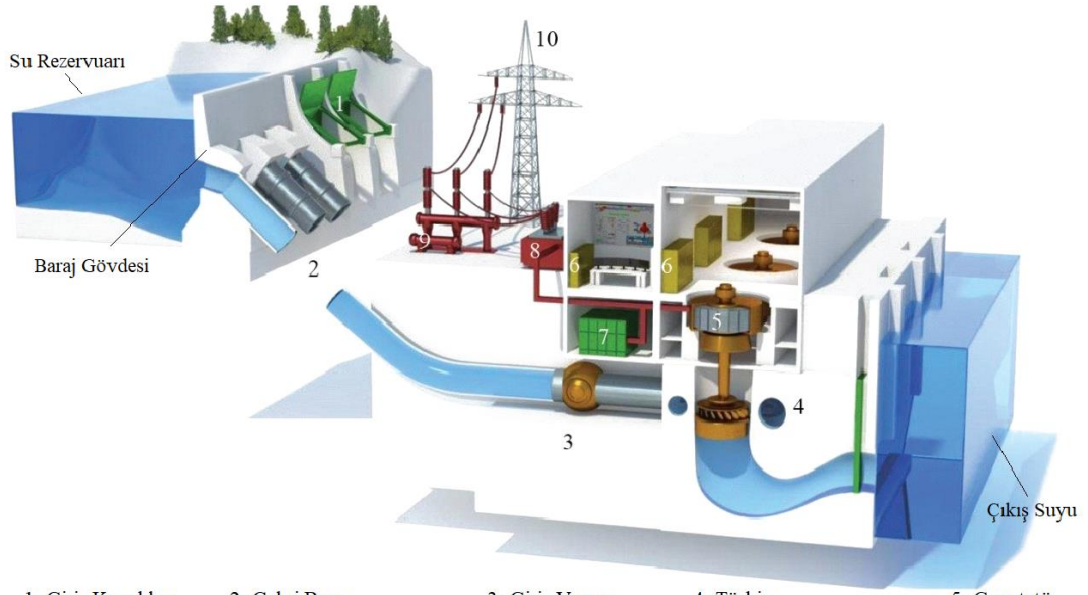
Ülkemizde bulunan ve Devlet Su İşleri Genel Müdürlüğü (DSİ) tarafından debileri yıllardır ölçülen çok sayıdaki küçük dere ve çayların su potansiyelinden faydalanılarak ülke ekonomisine kazandırılması, ayrıca küçük ölçekli tesislerin

elektrik ihtiyacının karşılanması için geniş düşü ve debi aralıklarında çalışabilen, tasarım ve imalat kolaylığı sayesinde maliyetleri az olan Banki tipi türbin kullanımının yaygınlaştırılması ve daha verimli türbinlerin geliştirilmesi hedeflenmektedir.

Bu tezde bir banki türbini deneysel olarak incelenecektir. Bu kapsamda TEMSAN bünyesinde kurulan ve Ar-Ge çalışmalarında kullanılan Türbin Test Merkezi olanaklarından faydalanılacaktır. Türbin test merkezi, özellikle aksiyon (impuls) tipi (Pelton, Banki ve Turgo) hidrolik mikro türbinlerin fonksiyon ve bu tip türbinlerin model testleri için yapılmıştır. İleride farklı tipte türbinlerin test edilebilmesi ve test merkezinin büyümesi düşünülerek projelendirilmiştir. Mevcutta yatay olarak konumlandırılmış asenkron generatör ile 500 kW güce kadar mikro türbinlerin fonksiyon ve pelton türbinlerin model testleri gerçekleştirilebilmektedir. İki adet pompa hattı ile değişken debi ve düşülerde test yapma imkânı sağlanmaktadır [3].

1.1. Hidroelektrik Santraller Hakkında Genel Bilgiler

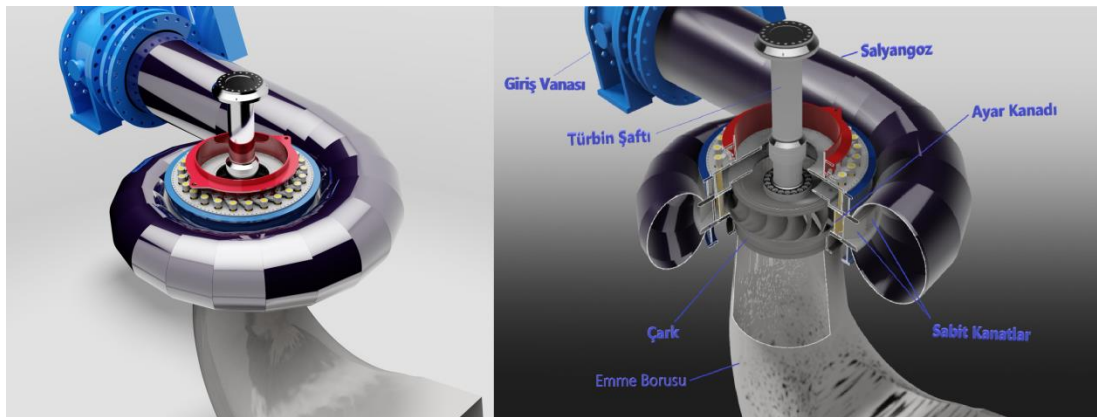
Hidroelektrik enerji, suyun potansiyel ve kinetik enerjisinin elektrik enerjisine dönüştürülmesi olayının bütünüdür. Hidrolik santraller, yükseklik farkının olduğu ve su potansiyelinin bulunduğu yerlerde, suyun borular veya kanallar vasıtasıyla alınarak, potansiyel enerjisinin türbinde mekanik enerjiye, mekanik enerjinin de türbin şaftına bağlı alternatör yardımıyla elektrik enerjisine dönüştürüldüğü tesislerdir. Şekil 1.1.'de bir santralin kesiti ve santralde kullanılan ana ekipmanlar görülmektedir.



- | | | | | |
|--------------------|---------------------------|---------------------|-----------------------------|------------------|
| 1- Giriş Kapakları | 2- Cebri Boru | 3- Giriş Vanası | 4- Türbin | 5- Genetatör |
| 6- Kontrol Kumanda | 7- Orta Gerilim Kesiciler | 8- Transformatörler | 9- Yüksek Gerilim Kesiciler | 10- İletim Hattı |

Şekil 1.1. Hidroelektrik santral genel kesiti ve ana ekipmanları [4]

Su türbinlerinin tahrik ettiği jeneratörlerde üretilen elektrik enerjisi, 1891 yılında Oskar Von Miller tarafından enerji iletim hattı ile uzak yerlerdeki müşterilere nakledilebilmiştir. Ancak modern anlamda otomatik olarak yük-frekans ayarlaması yapılabilen Francis, Kaplan, Pelton ve diğer tipteki hidrolik türbinler 1920'lerden itibaren yaygın olarak kullanılmaya başlanılmıştır [5]. Şekil 1.2.'de türbin genel görünüşü, türbin kesiti ve türbin ana ekipmanları gösterilmiştir.



Şekil 1.2. Türbin genel görünüşü ve türbin ana ekipmanları (*TEMSAN A.Ş. görseli kullanılmıştır.)

1.2. Türbinlerin Sınıflandırılması

Hidrolik türbinler, genellikle güçlerine, etki şekillerine ve özgül hızlarına göre sınıflandırılmaktadır. Ayrıca literatürde değişik sınıflandırmalarla da karşılaşılmaktadır.

1.2.1. Güçlerine göre türbinler

Bir su türbini; 10MW güç ve üzerinde güç üretebiliyorsa büyük türbin, 10MW ile 1MW arasında güce sahip ise küçük türbin, 1MW ile 100kW güç arasındaki türbinler mini türbin, 100kW ile 5kW arası güçteki türbinler mikro türbin ve 5kW altındaki güçlerde çalışan türbinler, piko türbin olarak adlandırılmaktadır.

1.2.2. Etki şekillerine göre türbinler

Aksiyon tipi türbinler ve reaksiyon tipi türbinler olarak iki ana grupta sınıflandırılmıştır.

Aksiyon türbinleri; Türbin çarkında suyun kinetik enerjisinin kullanıldığı türbinlerdir. Bu türbinlerin çarklarında basınç düşmesi olmadığından çarkın giriş ve çıkışında basınç aynıdır. Suyun çıkış basıncı açık sistemlerde atmosfer basıncıdır. Pelton, Banki, Turgo türbinleri aksiyon tipi türbinler sınıfında yer almaktadır.

Reaksiyon türbinleri; Türbin çarkında suyun basınç (potansiyel) enerjisinin kullanıldığı türbinlerdir. Suyun çarkın girişindeki basıncı çıkışındaki basıncından daha büyüktür. Francis, Kaplan türbinleri reaksiyon türbinleri sınıfında yer almaktadır [6].

1.2.3. Özgül hıza göre türbinler

Özgül hız, 1m düşüde 1 beygir güç veren türbinin devir sayısıdır. HES için kullanılacak türbin tipini belirleyen en önemli iki tasarım parametresi düşü, debi ve devir sayısıdır. Benzerlik bağıntılarında bu üç parametre kullanılır ve bu değişkenlerden elde edilen, karakteristik bir büyüklük olan özgül hız (n_s) aşağıdaki eşitlik kullanılarak (Denklem 1.1) hesaplanmıştır.

$$n_s = \frac{n \cdot \sqrt{N_e}}{\sqrt[4]{(H_n)^5}} \quad (1.1)$$

H_n : Net Düşü [m]

N_e : Etkin Güç [BG]

n : Devir Sayısı [d/d]

Bu denklem sonucunda; özgül hız d/dk biriminde hesaplanır. Ayrıca, bu denklemde özgül hızın tanımı gereği, (N_e) etkin güç BG (beygir gücü) biriminde olmalıdır. Özgül hız değerine göre türbinler aşağıdaki gibi sınıflandırılırlar [6].

$n_s =$	3 – 60	d/d	Pelton veya Turgo
$n_s =$	40 – 200	d/d	Banki
$n_s =$	60 – 125	d/d	Yavaş Francis
$n_s =$	125 – 225	d/d	Orta hızlı Francis
$n_s =$	225 – 450	d/d	Hızlı Francis
$n_s =$	300 – 1100	d/d	Kaplan

1.3. Türbin Tipleri

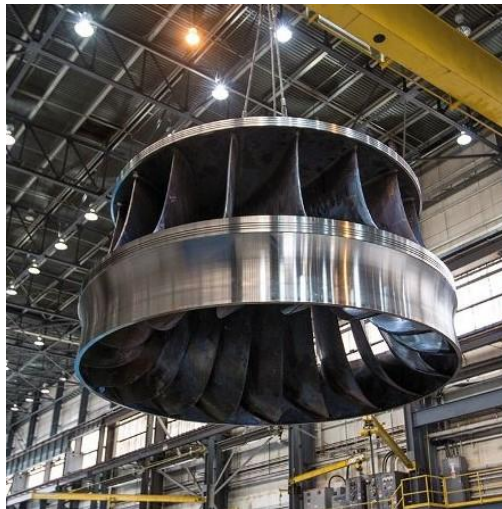
1.3.1. Francis tipi türbinler

Francis tipi hidrolik türbinler ilk defa 1838 yılında Amerikalı Howd tarafından keşfedilmiş ve 1848 yılında yine Amerikalı James Francis tarafından geliştirilerek denenmiştir [5].

Bu tip türbinlerde, çark kanadının giriş ve çıkışındaki su basıncında bir düşme meydana gelir ve su basıncında meydana gelen bu düşme, suyun hızlanmasına neden olur. Dünyanın çeşitli yerlerinde Francis türbinlerinin, 20 m ila 750 m düşüler arasında çalışan birçok değişik tasarımı bulunmaktadır. Şekil 1.3.'de bir Francis türbinine ait çark gösterilmiştir.

Özgül hızları $n_s = 60-450$ d/d arasında olan sularda genellikle Francis tipi türbinlerin kullanılması tercih edilmektedir. Francis türbinleri özgül hıza göre aşağıdaki şekilde gruplandırılırlar [7].

$n_s = 60 - 125$ d/d	Yavaş Francis
$n_s = 125 - 225$ d/d	Orta hızlı Francis
$n_s = 225 - 450$ d/d	Hızlı Francis



Şekil 1.3. Francis türbin çarkı (*Resim General Electric firmasından alınmıştır.)

Francis türbinlerinde su, salyangoz şeklindeki parçadan çark kanatlarına radyal doğrultuda yönlendirilir ve aksel doğrultuda yayıcı ile dışarı atılır [6].

1.3.2. Kaplan tipi türbinler

Kaplan tipi hidrolik türbinler 1912 yılında Prof. Dr. VIKTOR KAPLAN tarafından geliştirilmiştir. 1919'da İlk Kaplan türbini kurulmuştur. İlk türbin %84 civarında bir verimle çalışmasına rağmen daha sonra yapılan bazı kurulumlarda verimin düşmesi yeni bir problemi gündeme getirmiştir, kavitasyon. Bunu üstüne 1924-25'de İsveç'te kavitasyon konusunda detaylı araştırmalar yapılmış 1926'da ise LillaEdet'de ilk büyük Kaplan türbini inşa edilmiştir. Bu türbinden %92,5 mertebesinde bir verim elde edilmiştir [8].

Giriş ayar kanatları ve ayarlanabilir çark kanatları sayesinde iki kademeli ayarlanabilir bir yapıda olan Kaplan türbinleri, düşüsü az olan geniş aralıktaki debilerde çalışabilen akarsularda kullanılmaktadır. Düşüsü 1,5 metreden 50 metreye kadar olan her yerde kullanılabilir. Ancak en verimli çalışma düşüleri 1,5 m – 15m arasında olup, 15 metrenin üzerindeki düşülerde verim azalmaya başlamaktadır. Şekil 1.4.'de bir kaplan türbin çarkı görülmektedir.



Şekil 1.4. Kaplan türbin çarkı [9]

1.3.3. Pelton tipi türbinler

Pelton tipi türbinler 1880 yılında Amerikalı Lester Pelton tarafından keşfedilmiş ve gelişmeleri günümüze kadar devam etmiştir. Pelton tipi hidrolik türbinler çok yüksek düşülerin ve küçük su debilerin olduğu yerlerde kullanılmaktadır. Genellikle 120 metre ve üzeri düşülerde kullanılan pelton türbinlerinin 2000 metre düşüde çalışan projeleri bulunmaktadır.

Pelton tipi hidrolik türbinlerde nozuldaki su, Pelton çarkının kepeçlerine tegetsel olarak çarpar. Bu çarpma ile suyun kinetik enerjisi mekanik enerjiye dönüşmüş olur ve türbin çarkı döner. Türbin çarkının çevresindeki kepeçlere suyun çarptırılması bir veya birkaç Pelton nozulu ile yaptırılabilir. Genellikle küçük güçlü Pelton tipi hidrolik türbinlerin 1 veya 2 nozulu olmasına karşın, büyük güçlü Pelton tipi hidrolik türbinlerin 4 ila 6 adet nozulu bulunur.



Şekil 1.5. Pelton tipi türbin çarkı

BÖLÜM 2. LİTERATÜR ARAŞTIRMASI

Banki tipi türbinler Avusturyalı mühendis Antony Michell tarafından 1903 yılında keşfedilmiş ve türbinin tasarım patenti alınmıştır. 1917 yılında Macar Donat Banki, türbini geliştirerek parametrelerini belirlemiştir. Ossberger, 1933 yılında türbin patentini almış ve seri üretime geçmiştir.

Banki türbinler üzerine yapılan çalışmalarda türbin teorisi ilk kez Donat Banki tarafından tasarım patenti alınarak yayımlanmıştır [10].

1949 yıllarında Macmore ve Merryfield Banki türbini boyutlandırması ve testlerini yaparak grafikler elde etmiş, türbine ait tepe diyagramlarını oluşturmuşlardır. Çalışmalarında çark çapı 332,7mm, çark genişliği 305mm, kanat kalınlığı 6,4mm olan 20 kanatlı banki türbini kullanmışlardır. Çark merkezinden 2,74m yükseklikten 5,49m yükseklikteki düşülere kadar test yapmışlardır. Debi $0,06 \text{ m}^3/\text{sn}$ düşü ve 4,88m de iken maksimum verime ulaşılabilmiş ve verim değeri %68 olarak hesaplanmıştır [11].

1959 yıllarında, Varga, J. Banki türbini deneysel çalışmasında, çark giriş açısı 16° olan ve 30 kanatlı çark kullanarak yaptığı testlerde maksimum %77 verim değerine ulaşmıştır [12].

1960 yıllarında Haimerl L.A., aynı şartlarda çalışan bir Banki türbini ile Francis tipi türbinin, yıllık toplam çalışma saatlerini karşılaştırmış ve Banki türbinlerin yıllık elektrik üretimlerinin fazla olduğunu belirtmiştir [13].

1983 yıllarında Verhaart P., tarafından yapılan çalışmalarda Banki Türbini kanat tasarımının pratik hesaplanabilmesi için yazılım geliştirmiştir [14].

1988 yıllarında S. Khosrowpanah ve arkadaşları, çark kanadı sayısı, çark çapı, ayar kanadı giriş açısı, debi ve düşüyü değiştirerek çeşitli testler yapmışlardır. Toplam düşüsü 1,79m olan ve $0,03\text{m}^3/\text{sn}$ debide çalışan türbin tasarladılar. Çark çapı 15,24cm ile 30,48cm arasında olan 4 adet türbin ile çalışmalarını yapmışlardır. Çark çapı 15,24cm olan türbinin çark kanadı giriş açısı 30° ve çıkış açısı 90° , çark kanat sayısı 20, 15 ve 10 adettir. Ayar kanadı genişlikleri eşit ancak giriş açısı 58, 78 ve 90 derece olan ayar kanatlarıyla testler yapmışlardır. Çalıştırılan 4 model türbin varyasyonlarından maksimum %80 verim elde edilmiş ve bu verimi etkileyen en büyük etkenin çark kanat sayısı olduğu belirtmişlerdir. Bu çalışmada optimum kanat sayısının 15 adet ve çark çapının 30,48cm olduğunu bildirmişlerdir [15].

Fiuzat ve Akerkar Banki türbinlerini iki kademesinde gerçekleşen olayları incelemiş ve kademelerde elde edilen güçleri tespit etmek için özel bir türbin ile deneyler yapmışlardır [16].

Desai Venkappayya ve Aziz Nadim, Türbin verimini etkileyen geometrik parametrelerin incelenmesi için deneysel çalışma yapmışlardır. Çark kanat sayısı 15 ile 25 arasında değişen 3 adet türbin üzerinde yaptıkları çalışmalarda, çark kanadı giriş açısı 24 - 32 derece arasında değiştirilmiştir. Bu çalışmada çark kanadı sayısının artırılması ile verimde artış olduğu sonucuna ulaşmışlardır. Buna karşın, suyun giriş açısının 24 den 32 dereceye artırılmasına rağmen türbin veriminin artmadığını tespit etmişlerdir. Bu çalışmada elde edilen maksimum verim değeri % 87,5 olduğunu belirtmişlerdir [17].

Costa Pereira N.H., ve Borges S.E., ayar kanadında oluşan akışın verime olan etkisini deneysel olarak araştırmışlardır. 25 kanatlı ve 10 kanatlı çarklar kullanarak yaptıkları deneylerde türbinin nozzle akışının etkileri geniş aralıktaki çalışma koşulları ve en verimli çalışma noktalarını tespit etmişlerdir [18].

V. Seshadri ve arkadaşları orta ve az düşülerde çalışan türbinin performans testlerini değerlendirmişlerdir. Bu testlerde, çark kanadı sayısı 8 ile 30 arasında değişen ve

ayar kanadı giriş açısı 23° ila 36° arasında değişen türbinler kullanmışlardır. Optimum türbin ölçülerine çark genişliği 0,325m, çark çapı 0,3m ve kanat sayısı 20 olduğunu belirtmişlerdir. Belirli bir limite kadar çark kanadı sayısı artırılmasıyla birlikte giriş açısının artmasının, türbin performansını iyileştirdiği sonucuna varmışlardır [19].

Olgun H. tarafından yürütülen deneysel çalışmada, çark giriş genişliği oranı ve çark çapı oranı gibi geometrik parametrelere bağlı olarak türbin verim değişimi incelenmiş ve dört ayrı değişik tipteki türbinlerle çalışmalar yapmıştır. Her birinde 28 adet çark kanadı bulunan, çark giriş açısı 30° ve çıkış açısı 90° değerinde olan çarklar kullanılan türbinlerle testler gerçekleştirmiştir. Çark iç çapından dış çapına, çap değişim oranı 0,54'den 0,75'e kadar çarklar kullanmış ve her bir türbin için, giriş açısı 49° ve 104° olan iki adet ayar kanadı kullanılarak testlerin yapıldığını belirtmiştir. 8m'den 30m'ye kadar değişken düşülerde yaptığı testlerde en yüksek verim değeri %72 olarak elde etmiştir [20].

Kaya M.A., bir banki türbinini deneysel olarak incelemiş ve elde ettiği verilerden 12 kW güç üretebilen türbinin maksimum %51 verim değerine ulaştığını belirtmiştir. Testlerini değişik ayar kanadı ve sürgülü vana açıklıklarında tekrarlamış ayrıca hesaplamalı akışkanlar dinamiği ile elde ettiği değerleri deneysel bulgularla karşılaştırmıştır [21].

Adhikari R., ve Wood D. bir banki türbinini HAD analizi ile kanat sayısı ile verim değişimini incelemişlerdir. 0,53 kW güç üreten türbine ait analizlerden elde ettikleri sonuçlar Tablo 2.1.'de verilmiştir. 35 kanat kullandıkları çarktan elde ettikleri verim değeri %89,87'dir.

Tablo 2.1. Kanat sayısına bağlı verim değerleri

<u>Kanat Sayısı [Nb]</u>	<u>Verim (max [%])</u>
20	85.87
30	88.45
35	89.87
40	88.23

Ayrıca daha önce yapılan diğer çalışmalardan elde edilen sonuçları karşılaştırmışlardır. Tablo 2.2.'de verilen sonuçlara göre; Totapally ve Aziz [30] yaptıkları testlerde 35 kanatlı banki türbini kullanmışlar ve %90 verim değerine ulaşmışlardır [22].

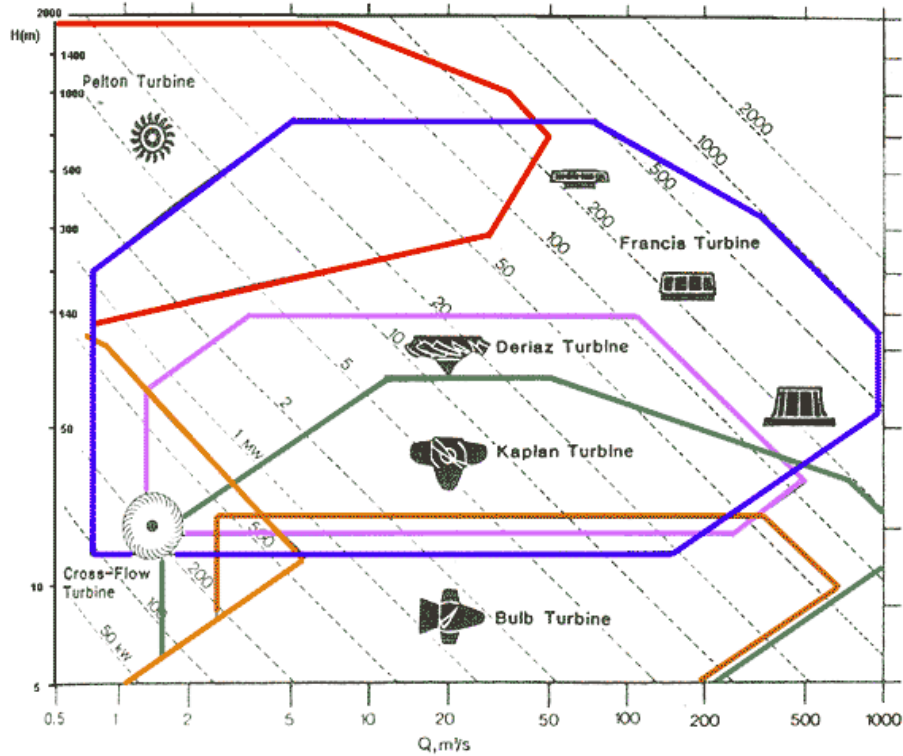
Tablo 2.2. Banki türbini deneysel çalışmaların özeti

	Giriş Açısı (°)	Kanat Sayısı (Z)	Verim (%)
Macmore and Merryfield [11]	16	20	68
Varga [12]	16	30	77
Durali [23]	16	24	76
Dakers and Martin [24]	22	20	69
Johnson and White[25]	16	18	80
Nakase et al. [26]	15	26	82
Durgin and Fay [27]	16	20	66
Khosrowpanah [15]	16	15	80
Horthsall [28]	16	21	75
Ott and Chappell [29]	16	20	79
Fiuzat and Akerker [16]	20-24	20	89
Desai [17]	22-32	30	88
Totapally and Aziz [30]	22-24	35	90

BÖLÜM 3. BANKİ TÜRBİNLERİ

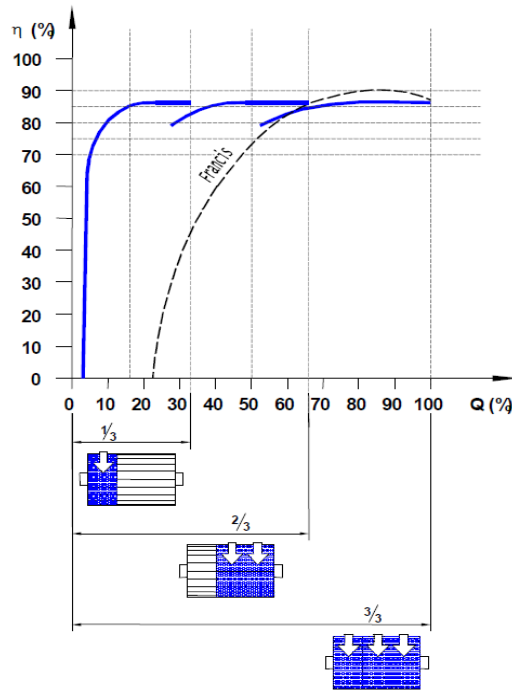
3.1. Genel Bilgiler

Banki türbinler, değişken debili küçük akarsularda geniş debi aralıklarında çalışabilmeleri, imalat kolaylığı ve maliyetlerin az olması nedeniyle tercih edilmektedir. Şekil 3.1.'de çeşitli türbinlerin debi ve düşüye bağlı olarak seçim diyagramı gösterilmektedir. Banki türbinleri (cross-flow turbine) 5 m³/sn debiye ve yaklaşık 120 metre düşüye kadar tercih edilebildikleri görülmektedir [31].



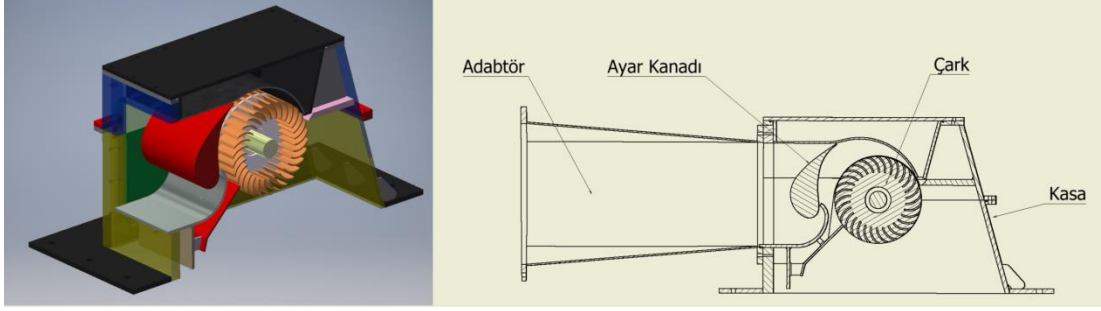
Şekil 3.1. Türbin seçim diyagramı [31]. (*Diyagram Heinzmann HydroTech Private Limited, India'dan alınmıştır.)

Aynı çalışma koşullarındaki bir Francis tipi türbin ile bir Banki türbin verim grafiği karşılaştırması Şekil 3.2.'de gösterilmiştir. Verim diyagramları incelendiğinde Francis türbininin verimsiz çalıştığı veya çalışmadığı bölgelerde Banki türbinin çok daha verimli çalıştığı görülebilmektedir. Yıl içerisinde türbinin toplam çalışma saati göz önüne alındığında küçük dere ve akarsuların değişken debisine rağmen sürekli çalıştırılabilir olmaları nedeniyle Banki türbinler tercih edilmektedir.



Şekil 3.2. Banki türbini ile francis türbini debiye bağlı verim eğrilerinin karşılaştırılması [32].

Şekil 3.3.'de bir Banki türbini oluşturan ekipmanlar gösterilmiştir. Ayar kanadı ve çark olmak üzere iki ana parçadan oluşmaktadır. Ayar kanadı, suyun debisinin ayarlanarak, istenen güce ulaşılması için kullanılmaktadır. Türbin çarkı, belirli bir giriş ve çıkış açısına sahip, belirli eğrilik yarıçapında dairesel formdaki kanatlardan oluşmaktadır. Suyun kinetik enerjisini elektrik enerjisine çeviren generatöre ait milin dönmesi, çark vasıtası ile gerçekleşmektedir.



Şekil 3.3. Banki türbini oluşturan ekipmanlar ve genel görünüşü

3.2. Banki Türbini Tasarımı

3.2.1. Temel tanımlar

Banki türbinlerin tasarımında ayar kanatlarından çarka giren su debisi (Q) ve suyun net düşüşü (H_n) ana parametreler olarak hesaplamalarda kullanılmaktadır.

Aşağıdaki eşitlikte (Denkle 3.1) (H_n) net düşüyü, (H_g) suyun en üst seviyesinden türbine kadar olan yüksekliği, (H_k) ise türbine kadar olan (boru, dirsek, sürtünme vb.) kayıpların toplamını ifade etmektedir.

$$H_n = H_g - H_k \text{ (m)} \quad (3.1)$$

Su debisinin (Q) hesaplanmasında, aşağıdaki ifadede (Denklem 3.2) yer alan suyun akış hızı (V) ve kanal veya boru kesit alanından (A) faydalanılmaktadır.

$$Q = V \cdot A \text{ (m}^3\text{/s)} \quad (3.2)$$

Etkin güç; santral genel veriminin (η_g) (türbin, alternator, transformatörlerin verim değerlerinin yer aldığı) güç değeri aşağıdaki eşitlikle (Denklem 3.3) hesaplanabilir.

$$N_e = \rho \cdot g \cdot \eta_g \cdot H_n \cdot Q \text{ (Watt)} \quad (3.3)$$

Türbinden elde edilecek güç (N_t), aşağıdaki eşitlikteki (Denklem 3.4) suyun yoğunluğuna (ρ), yer çekimi ivmesine (g), türbin verimine (η_t), net düşüye (H_n) ve debiye (Q) bağlıdır.

$$N_t = \rho \cdot g \cdot \eta_t \cdot H_n \cdot Q \quad (\text{Watt}) \quad (3.4)$$

Benzerlik bağıntıları kullanılarak; maksimum verimde çalışan $H_n=1$ m net düşüde ve $Q=1$ m³/sn debide çalışan türbinin devir sayısına eşit, düşüsü (H_n), debisi (Q) ve devir sayısı (N) olan ve maksimum verimde çalışan bir türbinin türbinin devir sayısına özgül hız denir. Aşağıdaki eşitlikten (Denklem 3.5) faydalanılarak bulunur ve (n_q) ile gösterilmektedir.

$$n_q = n \left(\frac{\sqrt{Q}}{\sqrt[4]{H_n^3}} \right) \quad (\text{d/d}) \quad (3.5)$$

Denklem 3.5'de; debinin (Q) birimi [m³/sn], düşü (H) - [m], devir sayısı (n) - [d/d] olmalıdır.

Ayrıca etkin güç (N_e) denklemini kullanılarak elde edilen özgül hız bağıntısı (n_s) aşağıdaki gibidir (Denklem 3.6).

$$n_s = n \left(\frac{\sqrt{N_e}}{\sqrt[4]{H_n^5}} \right) \quad (\text{d/d}) \quad (3.6)$$

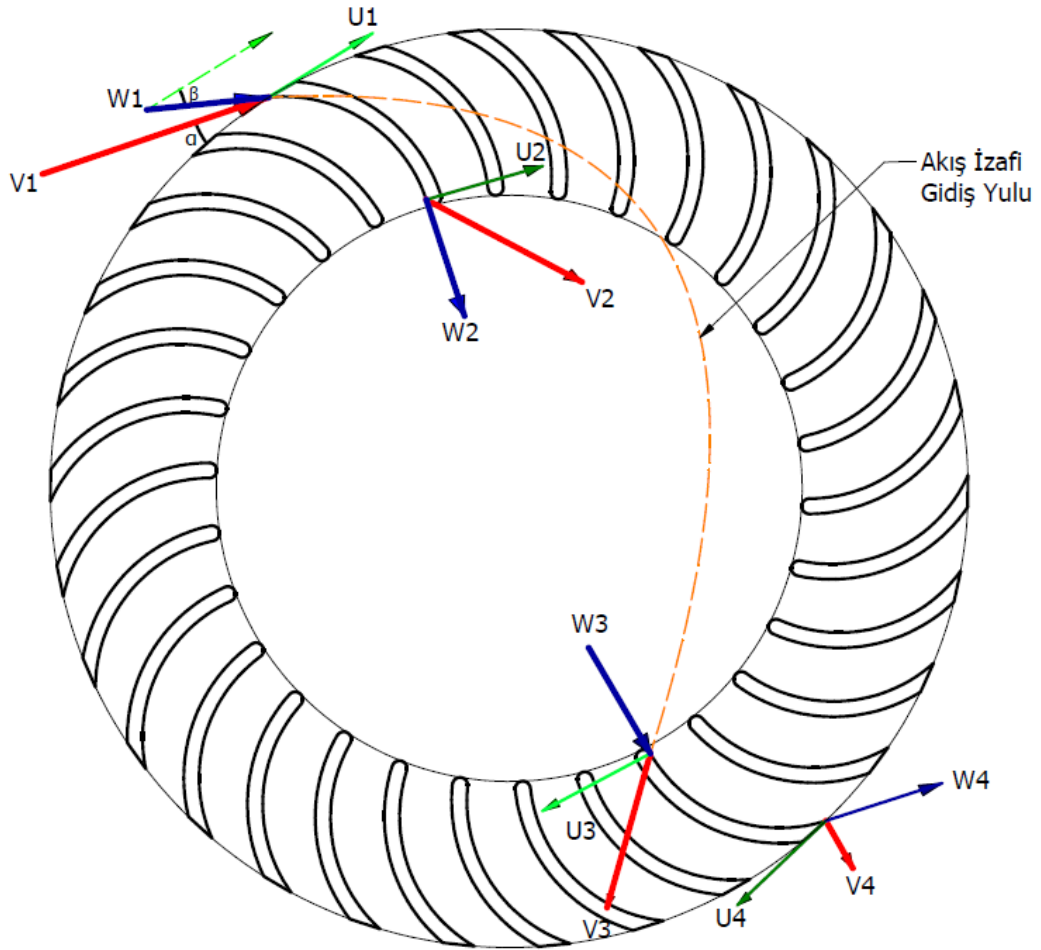
Yukardaki eşitlikte (Denklem 3.6); gücün birimi (N_e) – [BG], düşü (H) - [m], devir sayısı (n) - [d/d] olmalıdır.

3.2.2. Hız üçgenleri

Dönen bir çark kanadı üzerinde bir gözlemci olduğunu ve gözlemcinin çarktan sanki dikdörtgen sabit bir kanala bakarak akışı gözlemlediğini varsayalım. Çarktaki gözlemcinin, sabit kanal boyunca akan suyun hızına göre bir bağıl hızı (w) vardır.

Ancak çark dışında duran sabit bir gözlemci, mutlak akış hızını (V) görecektir. Bu iki hız bileşeninden çarkın çevresel hızı (u) tanımlanabilir.

Mutlak hız (V), bağıl hız (w) ve çarkın çevresel hızı (u)' nun vektörel toplamı olarak ifade edilebilir. Hız vektörleri (u) ve (V) arasında kalan kanat açısı (β), ve hız vektörü (V) ile (u) arasındaki mutlak hızın açısı (α) ile tanımlanmıştır. Akışkanın izafi gidiş yolu, çark kanadının şekline bağlı olarak belirlenir [33, 34]. Şekil 3.4.'de banki türbini çark kanadı üzerindeki hız üçgenleri ve akış izafi gidiş yolu gösterilmiştir.



Şekil 3.4. Banki su türbini hız üçgenleri

Euler denklemleri kullanılarak aşağıdaki eşitlikteki (Denklem 3.7) maksimum teorik düşü (H_{th}) ifadesi elde edilir [34].

$$H_{th} = [(V_1^2 - V_4^2) + (u_1^2 - u_4^2) + (w_1^2 - w_4^2)]/2g \quad (3.7)$$

Türbin verimi de göz önüne alınırsa, türbinden elde edilecek teorik düşü ile net düşü ilişkisi aşağıdaki eşitlikte (Denklem 3.8) belirtilmiştir.

$$H_{th} = H_n \cdot \eta_t \quad (3.8)$$

Hız üçgenlerinden aşağıdaki eşitlik (Denklem 3.9) elde edilir.

$$w_2 = u_2 + V_2 - 2 \cdot u \cdot V \cdot \cos(\alpha) \quad (3.9)$$

(3.4), ve (3.5) Eşitlikleri, güç ifadesi (3.9) eşitliğinde yerine yazılırsa ve çarkın dönüş hızı sabit $u_2 = u_3$, $V_2 = V_3$, ve $\alpha_2 = \alpha_3$ olduğundan (3.10) eşitliği elde edilir [21].

$$N_t = \rho \cdot g \cdot \eta_t \cdot H_n \cdot Q = \rho \cdot Q [u_1 \cdot V_1 \cdot \cos(\alpha_1) - u_4 \cdot V_4 \cdot \cos(\alpha_4)] \quad (3.10)$$

Maksimum verim aşağıdaki eşitlik (Denklem 3.11) ile hesaplanmaktadır.

$$\eta_t = 0,5 \cdot C^2 (1 + \phi) \cdot \cos^2(\alpha) \quad (3.11)$$

Burada; (α) giriş açısı maksimum verim için sıfır olmalıdır. Ancak bu durumda su geçişi mümkün olmadığından Banki türbinleri için bu değer 16° olarak alınmaktadır. C ve ϕ değerleri ayar kanadı ve çark kanadı sürtünme katsayılarıdır ve 0,98 değeri alınmaktadır [11].

3.2.3. Banki türbini boyutları

Giriş genişliği (b_0) aşağıdaki eşitliğinden (Denklem 3.12) elde edilir [35].

$$b_0 = (q_{11} \cdot D)^{-1} \cdot Q \cdot (H_n)^{1/2} \quad (3.12)$$

Çalışma karakteristikleri (H_n), (Q) ve (N) olan bir turbo makınaya benzer olarak $H_n=1$ metre net düşüde çalışan ve ayrıca çark çapı (D_0) 1 metre olan turbomakinanın karakteristik büyüklükleri; karakteristik debi (q_{11}) ve karakteristik devir sayısı (n_{11}) ile gösterilir [36].

Banki türbinlerinde, karakteristik birim debi $q_{11}=0,92$ olarak alınmaktadır. Denklem (3.9) eşitliğinde çark çapı ($D_0=0,3$ metre) için değerler yerine konulursa, giriş genişliği (b_0), (3.13) eşitliğindeki gibi olur [35].

$$b_0 = 3,623 \frac{Q}{\sqrt{(H_n)}} \quad (3.13)$$

Devir sayısı (N) ise (3.14) eşitliğinden elde edilir [35].

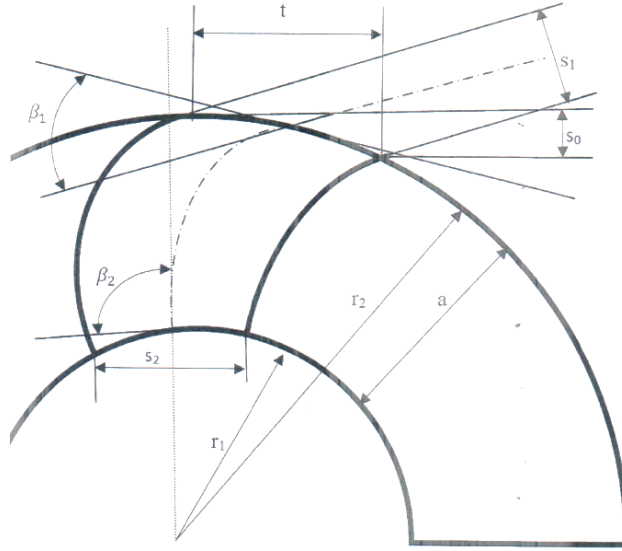
$$N = n_{11} \cdot D_0^{-1} \cdot (H_n)^{1/2} \quad (3.14)$$

Banki türbinlerinde, karakteristik birim devir sayısı $n_{11}=40$ olarak alınmaktadır. (Denklem 3.14) eşitliğinde yerine konulursa, türbin devir sayısı (N), aşağıda verilen eşitlikteki gibi olur (Denklem 3.15) [35].

$$N = 40 \cdot D_0^{-1} \cdot (H_n)^{1/2} \quad (3.15)$$

Çark su jeti giriş genişliği (t) Şekil 3.5.'de gösterilmiş olup, (Denklem 3.16) eşitliğinden elde edilir [37].

$$t = 0,174 \cdot D_0 \quad (3.16)$$



Şekil 3.5. Banki türbini su jeti görünümü [11].

Çark kanadı genişliği (a), (Denklem 3.17) eşitliğinden elde edilmektedir [37].

$$a = 0,174.D_0 \quad (3.17)$$

Çark kanadı iç çapı (D_i), aşağıdaki eşitlikten (Denklem 3.18) elde edilir [37].

$$D_i = D_0 - 2.a \quad (3.18)$$

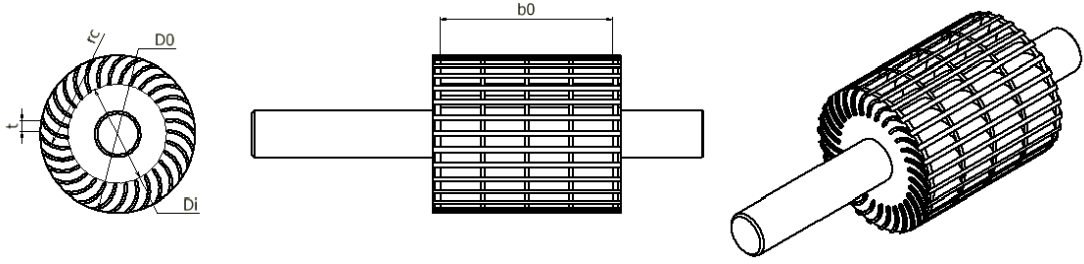
Literatürde yapılan çalışmalarda değişik sayıda çark kanadı sayısı ile testler yapılmıştır. Bu çalışmada çark kanadı sayısı (z) 30 adet olarak alınmıştır.

Çark kanadı formu yarıçapı (r_c), (Denklem 3.19) eşitliğinden elde edilir [37].

$$r_c = 0,163.D_0 \quad (3.19)$$

Maksimum verimde su jeti kalınlığı (y), (Denklem 3.20) eşitliğinden elde edilir [37].

$$y = 0,29.D_0 \quad (3.20)$$



Şekil 3.6. Banki türbini çarkı

Şekil 3.6.'da Banki türbini çarkı genel boyutları gösterilmiştir.

3.2.4. Test türbini parametreleri

Testi yapılan Banki türbini tasarımında, Donat Banki tarafından açıklanan teoriler kullanılmıştır. Testlerde kullanılan banki türbini TEMSAN tarafından imalatı yapılan ve aynı zamanda ticari ürün olarak kullanılan türbinlerdendir.

Türbin test merkezinde test edilen banki türbini ön tasarımı Tablo 3.1.'deki teorik verilere göre yapılmıştır.

Tablo 3.1. Banki test türbini tasarım verileri

Düşü (H_n) [m]	Debi (Q) [l/sn]	Verim (η_t)	Özgül Hız (n_q)
20	400	70	40

Türbin gücü;

$$N_t = \rho \cdot g \cdot \eta_t \cdot H_n \cdot Q = (1000)(9,81)(0,4)(20)(0,7) \text{ [Watt]} \quad (3.21)$$

$N_t = 54,936 \text{ [kW]}$ olan banki türbininin performans testleri yapılmıştır.



Şekil 3.7. Testte kullanılan banki türbini resimleri

Banki türbinlerin boyutlandırılması için Bölüm 3.2.3.'deki denklemler yardımıyla tasarlanan ve Şekil 3.7.'de görüldüğü gibi imalatı yapılarak test edilen banki türbini boyutları Tablo 3.2.'de verilmiştir.

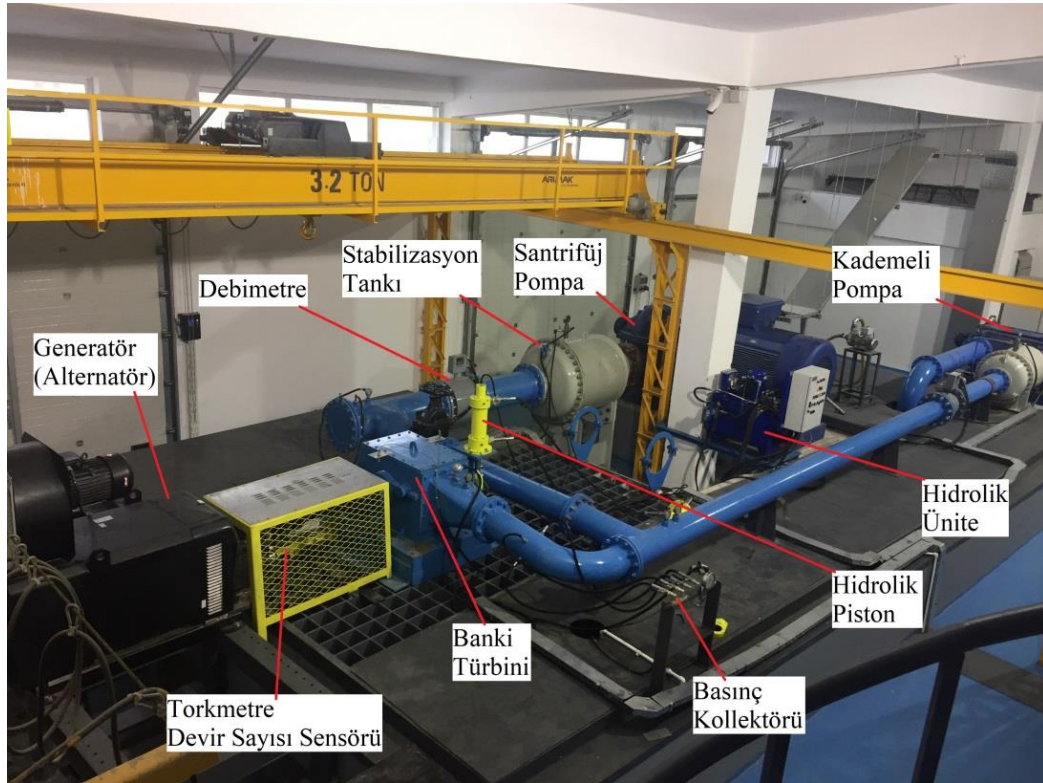
Tablo 3.2. Banki test türbini boyutları

1	Debi	Q [l/sn]	400
2	Düşü	H_n [m]	20
3	Verim	η_t	70
4	Türbin Gücü	P_t [kW]	55
5	Çark Dış Çapı	D_0 [mm]	300
6	Çark İç Çapı	D_i [mm]	195
7	Devir Sayısı	N [d/d]	595
8	Çark Genişliği	b_0 [mm]	324
9	Çark Kanadı Profili Yarıçapı	r_c [mm]	49
10	Çark Su Giriş Açısı	α [$^\circ$]	16
11	Bağıl Açısı	β [$^\circ$]	30
12	Kanat Sayısı	z [adet]	30
13	Su Jeti Kalınlığı	y [mm]	87
14	Özgül Hız	n_q	40

BÖLÜM 4. TEST DÜZENEGİ

4.1. Türbin Test Merkezi

TEMSAN özkaynakları ile kurulan türbin test merkezinde, yatay milli asenkron generatör ile 500 kW güce kadar Pelton, Banki ve Turgo mikro türbinlerin fonksiyon ve model testleri gerçekleştirilebilmektedir. İki adet pompa hattı ile değişken debi ve düşülerde test yapma imkânı sağlanmaktadır. Şekil 4.1.'de Türbin Test Merkezinin genel görünüşü verilmiştir.



Şekil 4.1. Türbin test merkezi

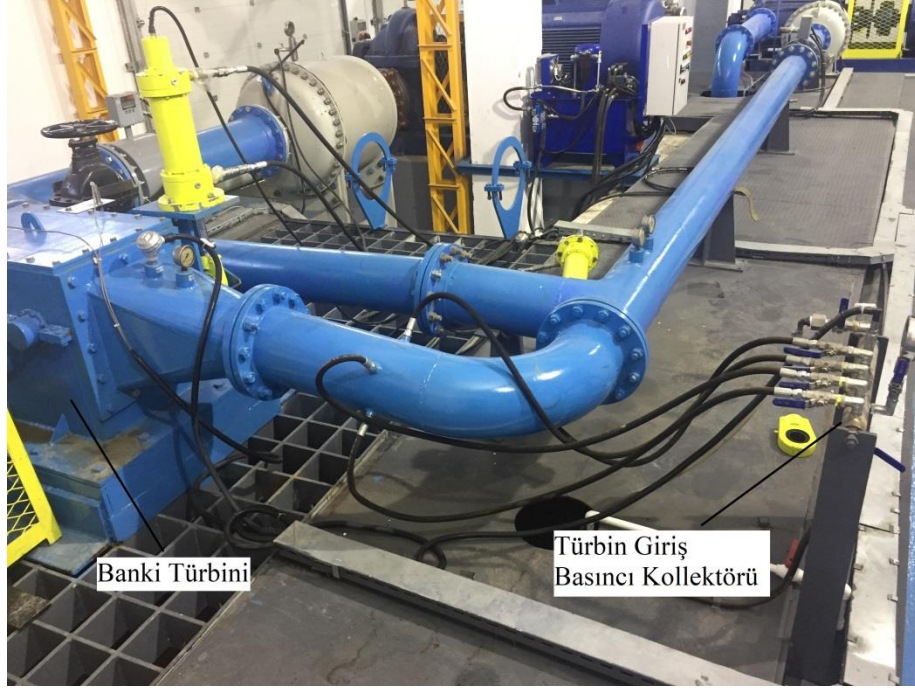
4.1.1. Düşünün ölçülmesi

Sistemde düşü ölçümü, Şekil 4.2.'de görülen Keller marka PA-21Y model basınç sensörü kullanılarak yapılmaktadır. Basınç sensörü %0,25 doğrulukla ölçüm yapabilmektedir [Ek-A].



Şekil 4.2. Basınç sensörü ve kollektör

Şekil 4.3.'de görülen türbin giriş borusundan alınan 4 adet su hattı bir kollektörde toplanarak ortalama türbin giriş basıncına dönüştürülür ve bu basınç değeri sensör yardımıyla 4-20 mA aralığında analog sinyal olarak kontrol sistemine gönderilir. İstenilen düşü, yani basınç değeri pompaların frekansları değiştirilerek elde edilir. Ayrıca mekanik manometre yardımıyla türbin giriş basıncı kontrol edilebilmektedir.



Şekil 4.3. Türbin giriş basıncı ölçümü

4.1.2. Debinin ölçülmesi

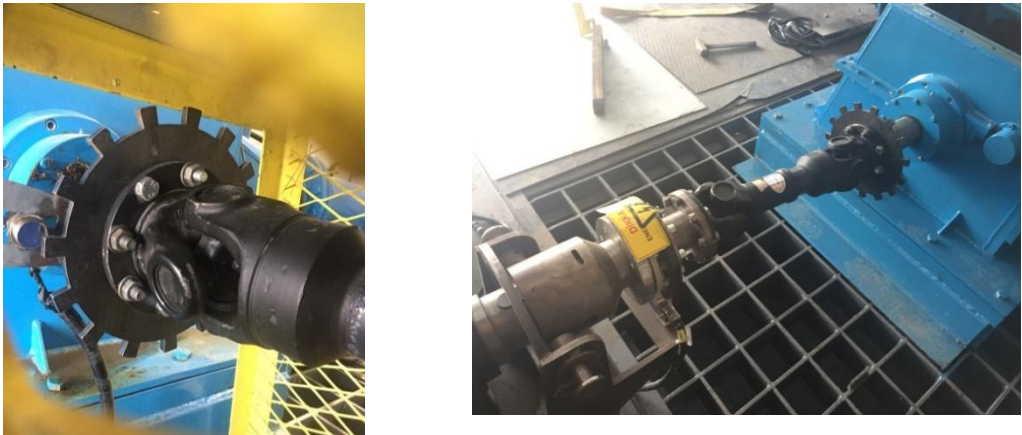
Türbin test sisteminde debi ölçümü için Şekil 4.4.'de görülen Modmag marka M2000 serisi manyetik debimetre kullanılmaktadır. Akış hızı 0,03 m/s ila 12 m/s aralığında ölçüm yapabilmekte, ekran yardımıyla üzerinden okunabilmekte ve ayrıca analog sinyal olarak kontrol sistemine değerler anlık iletilebilmektedir. Manyetik debimetreden geçen akışkanın hızı 0,5 m/s'den az olan durumlarda cihaz doğruluğu (± 1 mm/s) olmaktadır. Akış hızı 0,5 m/s'den çok olan durumlarda ise cihaz doğruluğu, debinin ($\% \pm 0,25$)'ı kadar olmaktadır [EK-B].



Şekil 4.4. Manyetik debimetre

4.1.3. Devir sayısının ölçülmesi

Sistemde devir sayısı ölçümü, Şekil 4.5.'de görüldüğü gibi türbin mili üzerine bağlanan dişli çark ve sensör yardımıyla yapılmaktadır. Elde edilen sinyaller kontrol sistemine elektronik olarak iletilmektedir. Sinyaller control sistemindeki yazılım sayesinde devir sayısına dönüştürülür. Osisense marka xs630b1mbl2 model sensör kullanılmaktadır [Ek-C].



Şekil 4.5. Türbin devir sayısı ölçüm sistemi

Ayrıca Şekil 4.6.'daki PH 200LC-SEG marka lazerli devir okuyucu takometre ile de devir sayısı manuel olarak kontrol edilmektedir.



Şekil 4.6. Manuel devir sayısı okuyucu

4.1.4. Mekanik tork ölçümü

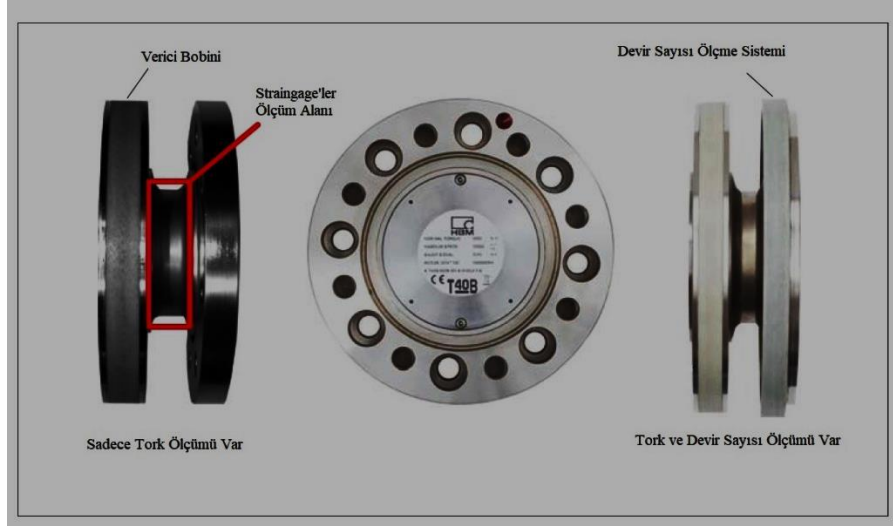
Türbin torku, Şekil 4.7.'de gösterildiği gibi türbin miline bağlanan, dönen ve sabit iki parçadan oluşan torkmetre yardımıyla ölçülmektedir.



Şekil 4.7. Torkmetre türbin mili bağlantısı

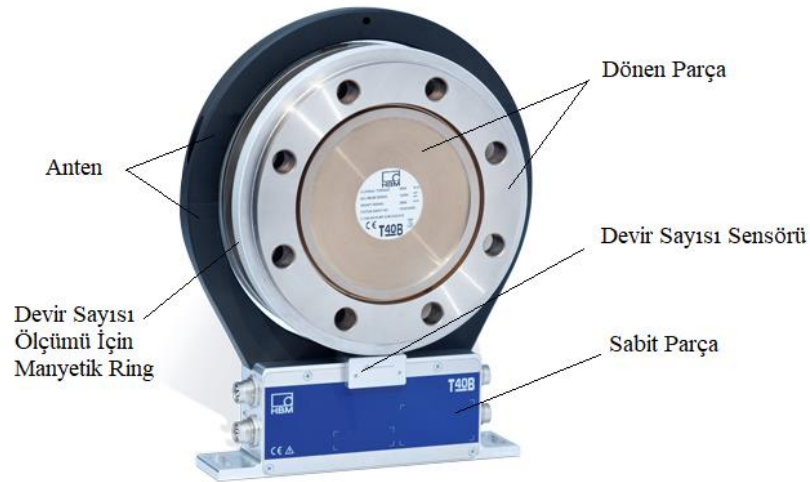
Şekil 4.8.'de gösterilen Torkmetrenin dönen parçası üzerinde, ölçüm gövdesi ve sinyal iletim elemanları bulunmaktadır. Ölçüm gövdesi üzerine strain gage'ler monte edilmiştir. Dönen parçadaki ölçüm sinyallerinin ve strain gage'lerde oluşan uyarım

geriliminin iletilmesi için bir elektronik devre merkeze yerleştirilmiştir. Ölçüm sinyallerinin ve ikaz voltajının temassız olarak iletilebilmesi için verici bobin ölçüm gövdesinin çevresinde yer almaktadır.



Şekil 4.8. Torkmetre dönen parça iç yapısı

Sinyaller Şekil 4.9.'da gösterilen anten yardımıyla gönderilir veya alınır. Anten, voltajın ve sinyal koşullarının ayarlanabildiği çember bir gövde içerisinde yer alır. Torkmetrenin sabit parçasında devir sayısı sensörü ve tork sinyali okuyucuları ile elektrik beslemeleri bulunmaktadır.



Şekil 4.9. Torkmetre parçaları

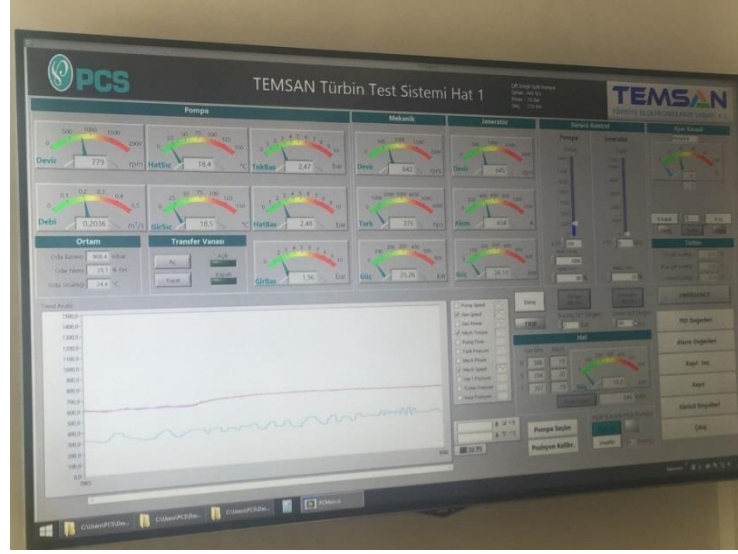
4.1.5. Kontrol kumanda sistemi

Şekil 4.10.'da görülen kontrol ve kumanda sisteminde, test düzeneğinde kullanılan tüm ekipmanların elektronik olarak izlendiği ve kontrol edildiği bir yazılım ve donanım bulunmaktadır.



Şekil 4.10. Kontrol ve kumanda sistemi

Şekil 4.11.'de kontrol kumanda arayüz ekranı görülmekte olup, tüm veriler anlık olarak izlenebilmekte ve kayıt altına alınmaktadır. Şebekeden çekilen güç, türbinin ürettiği güç gibi veriler de yazılım üzerinden okunabilmektedir.



Şekil 4.11. Kontrol kumanda ekranı

4.1.6. Hidrolik ünite

Türbin ayar kanadının kontrolü, hidrolik yağ kullanılarak Şekil 4.12.'de gösterilen hidrolik üniteye basınçlandırılan yağın, Şekil 4.13.'de gösterilen ayar kanadı pistonuna iletilerek sağlanmaktadır. Kanat açıklığı oransal vanasının açılıp kapanması vasıtasıyla ayarlanarak istenilen debi elde edilir. Piston üzerinde ayar kanadı açıklığını kontrol sistemine bildiren konum sensörü bulunmaktadır.



Şekil 4.12. Hidrolik ünite



Şekil 4.13. Ayar kanadı hidrolik pistonu

4.1.7. Pompalar ve sürücüler

Türbin test merkezinde test edilecek türbinlerin, istenilen su yüksekliğinin sağlanması için pompalar kullanılmakta olup, iki adet test hattı bulunmaktadır. Birinci test hattında kullanılan ve Şekil 4.14.'de gösterilen 700 kW elektrik motoruna bağlı santrifüj pompa ile, 10 bar basınç (yaklaşık 100 m su yüksekliği) ve 445 l/sn debiye kadar,



Şekil 4.14. Santrifüj pompa grubu

ayrıca ikinci test hattında kullanılan ve Şekil 4.15.'de gösterilen 500 kW elektrik motoruna bağlı kademeli pompa ile, 22 bar basınç (yaklaşık 220 metre su yüksekliği) ve 150 l/sn debiye kadar türbinlerin testini yapabilme imkanı sağlamaktadır.



Şekil 4.15. Kademeli pompa grubu

Ayrıca her bir pompa hattında akışın düzenlenmesi türbilansın azaltılması amacıyla özel tasarım stabilizasyon tankları kullanılmaktadır.

Test merkezinde kullanılan Şekil 4.16.'daki sürücü ve inventörler yardımıyla pompa motorlarının frekansları değiştirilerek pompaların devir sayıları ayarlanır ve böylece testi yapılacak türbinin su yüksekliği istenilen değerlere getirilmektedir.



Şekil 4.16. Pompa sürücü ve inventörleri

4.1.8. Alternatör (generatör)

Türbin test merkezinde türbin miline bağlı, 580 kW'a kadar güç üretebilen 1000 d/d dönme hızında Comer marka Powertec Tetravec model asenkron Generatör kullanılmaktadır. Şekil 4.17.'de Generatör ve türbin bağlantılı olarak görülmektedir.



Şekil 4.17. Generatör (alternatör)

4.2. Deneyin Yapılışı

Türbin test merkezinde kullanılan otomasyon sistemi sayesinde anlık olarak, türbin giriş basıncı (türbin düşüsü), türbine giren debi miktarı, ayar kanadı açıklığı, mekanik tork, türbin devir sayısı verileri aynı anda okunmakta ve kayıt altına alınmaktadır. Bunlara ek olarak oda basıncı, oda nemi, oda sıcaklığı, türbin yataklarının sıcaklığı, pompa yataklarının sıcaklığı, havuz suyunun sıcaklığı, hat suyu sıcaklığı, stabilizasyon tankı basıncı, hat basıncı ölçümleri yapılmaktadır.

Test edilecek türbin, havuz üzerinde bulunan ızgaralara sabitlenir, tork metre bağlantısı ile türbin - generatör mil bağlantıları ve devir hızı sensörü bağlantısı yapılır. Pompa hattı, türbin adaptörüne bağlanır. Ayrıca hat üzerinde bulunan enstürmanların, debimetrenin ve gerekli ölçüm cihazlarının bağlantıları da yapılır.

Santrifüj pompa ilk olarak düşük hızlarda döndürülerek hat ve sistem kontrol edilir. Daha sonra kontrol sistemi yazılımına istenen ayar kanadı açıklığı değeri, türbin giriş basıncı değeri ve devir sayısı değeri manuel olarak girilir. Kontrol ve kumanda sistemi yazılımı, otomatik olarak pompa devrini değiştirerek istenen türbin giriş basıncı değerine ve türbin devir sayısı değerine türbini getirir.

Testi yapılan banki türbini, 10m, 15m, 20m, 30m ve 40m düşüde ve her düşü için %20, %25, %30, %35, %40, %45, %50 ayar kanadı açıklığında çalıştırılarak belirli bir süre beklenilmiş, türbinin çalışma noktaları tespit edilmiştir. Her bir yükseklik için, her bir ayar kanadı açıklığında elde edilen verilerin aritmetik ortalaması alınmıştır.

4.3. Hata Analizi

4.3.1. Kline-McClintoc yöntemine göre hata analizi

Test düzeneğinin Kline-McClintoc yöntemine göre hata analizi yapıldığında;

$$w_R = \left[\left(\frac{\partial R}{\partial x_1} w_1 \right)^2 + \left(\frac{\partial R}{\partial x_2} w_2 \right)^2 + \dots + \left(\frac{\partial R}{\partial x_n} w_n \right)^2 \right]^{1/2}$$

Etkin güç (N_e) hesaplamalarında aşağıdaki eşitlikte (Denklem 4.1) debimetre ve manometreden elde edilen debi (Q) ve düşü (H_n) değerler kullanılmaktadır. Suyun yoğunluğu (ρ), yer çekimi ivmesi (g) ve genel verim (η_g) sabit kabul edilmiştir.

$$N_e = \rho \cdot g \cdot \eta_g \cdot H_n \cdot Q \quad (4.1)$$

Tasarım değerlerine göre;

$Q = 400 \text{ [l/sn]} = 0.4 \text{ [m}^3\text{/sn]}$	$w_Q = \pm \% 0,25$	(Debimetre Hata)
$H_n = 20 \text{ [m]}$	$w_{H_n} = \pm \% 0,25$	(Manometre Hata)
$\rho = 1000 \text{ [kg/m}^3]$		(Sabit)
$g = 9,81 \text{ [m/sn}^2]$		(Sabit)
$\eta_g = 0,70$		(Sabit)

$$N_e = (1000 \text{ [kg/m}^3]) \cdot (9,81 \text{ [m/sn}^2]) \cdot (0,70) \cdot (20 \text{ [m]}) \cdot (0.4 \text{ [m}^3\text{/sn]}) = 54.936,00 \text{ [W]}$$

$$w_R = \left[\left(\frac{\partial N_e}{\partial Q} w_Q \right)^2 + \left(\frac{\partial N_e}{\partial H_n} w_{H_n} \right)^2 \right]^{1/2} = [(\rho \cdot g \cdot \eta_g \cdot H_n \cdot w_Q)^2 + (\rho \cdot g \cdot \eta_g \cdot Q \cdot w_{H_n})^2]^{1/2}$$

$$w_R = [(343,35)^2 + (6,867)^2]^{1/2} = 343,42$$

$$w_R/N_e = 343,42 / 54936 = \pm \% 0,6$$

4.3.2. Akılcı yaklaşım metoduna göre hata analizi

Test merkezinin akılcı yaklaşım metoduna göre hata analizi (Denklem 4.1);

$$N_e = \rho \cdot g \cdot \eta_g \cdot H_n \cdot Q \text{ [Watt]} = (1000) \cdot (9,81) \cdot (0,70) \cdot (20) \cdot (0,4) = 54.936,00 \text{ [Watt]}$$

Pozitif hatalara göre;

$$N_e = (1000) \cdot (9,81) \cdot (0,70) \cdot (20+0,0025) \cdot (0,4+0,0025) = 55.286,26 \text{ [Watt]}$$

Negatif hatalara göre;

$$N_e = (1000) \cdot (9,81) \cdot (0,70) \cdot (20-0,0025) \cdot (0,4-0,0025) = 54.585,83 \text{ [Watt]}$$

Hata Yüzdeleri;

$$55.286,26 - 54.936,00 = 350,26 \quad \text{ise hata oranı} \quad + \% 0,64$$

$$54.585,83 - 54.936,00 = -350,17 \quad \text{ise hata oranı} \quad - \% 0,64$$

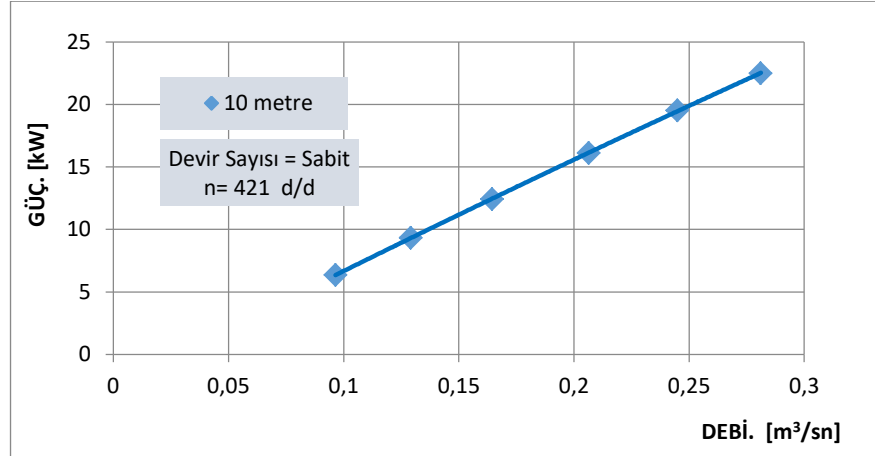
BÖLÜM 5. TARTIŞMA VE SONUÇ

Bu çalışmada 400 lt/sn debide ve 20 m düşüde çalışmak üzere tasarlanan Banki Tipi su türbinin 10m, 15m, 20m, 30m, 40m düşülerde ve değişken debilerde performans testleri yapılarak verim değerleri incelenmiştir. Düşü ve devir sayısı sabitken elde edilen test ana parametreleri Tablo 5.1.'de verilmiştir.

Tablo 5.1. Test parametreleri

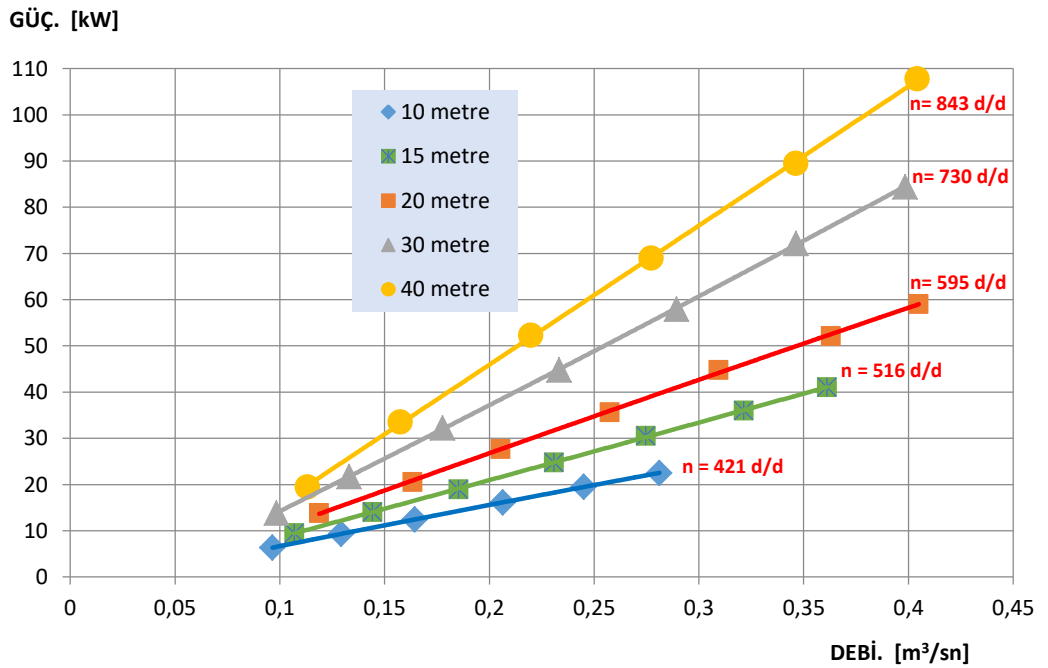
Düşü (H) [m]	Devir Sayısı (n) [d/d]	Debi (Q) [m ³ /sn]	Güç (N _e) [kW]	Güç (N _e) [BG]	Özgül Hız (n _s) [d/d]	Özgül Hız (n _q) [d/d]
10	421	0,28	22,50	30	129	40
15	516	0,36	44,05	55	129	40
20	595	0,40	59,06	80	126	40
30	730	0,40	84,43	113	110	36
40	843	0,40	107,75	145	100	33

Banki türbini, 10m düşüde, sabit devir sayısında, ayar kanadı açıklığı %20, %25, %30, %35, %40, %45 ve %50 ayarlanarak, değişken debilerde çalıştırılmış ve türbinden elde edilen debiye bağlı güç değişimi grafiği şekil 5.1.'de verilmiştir. Debi miktarı maksimum 0,28 m³/sn değerine çıkmış ancak türbinden daha fazla debide su geçirilememiştir.



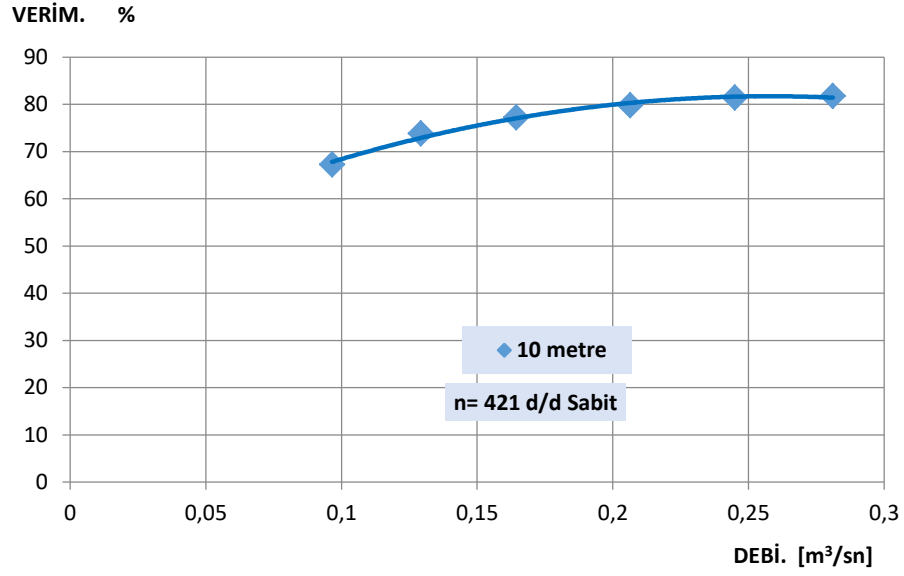
Şekil 5.1. H=10m düşüde, debiye bağlı güç değişimi

Aynı şekilde 15m, 20m, 30m ve 40m düşüler için de aynı testler yapılarak, Şekil 5.2.'de verilen, debiye bağlı güç değişim grafiği elde edilmiştir.



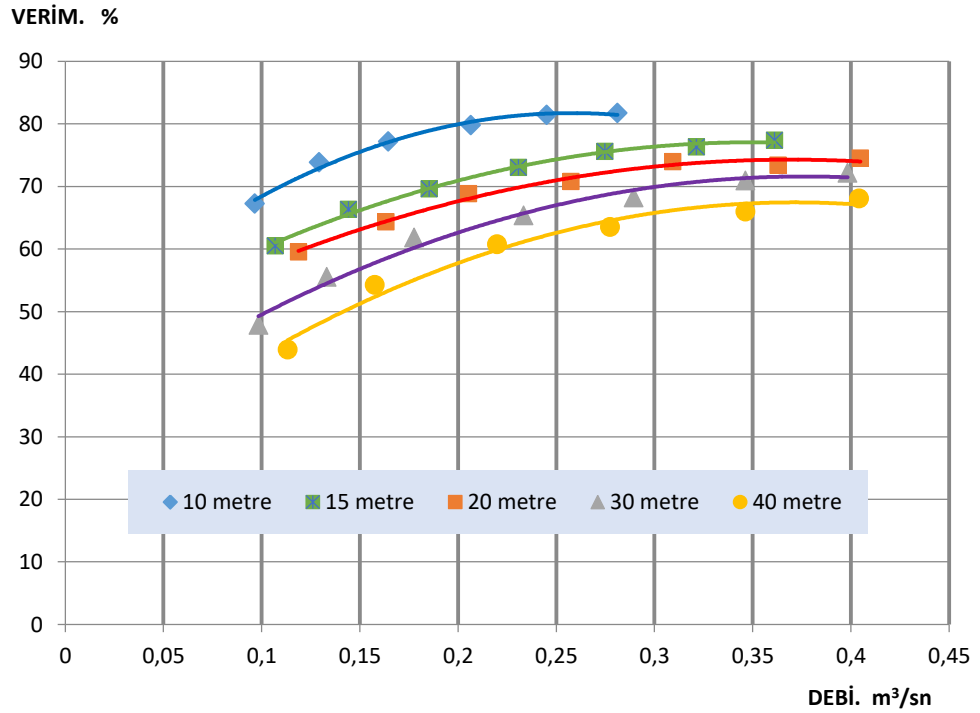
Şekil 5.2. Debiye Bağlı Güç Değişimi (10m, 15m, 20m, 30m, 40m Düşülerde)

Banki Türbini performans testlerinde 10m düşüde türbinin ürettiği gücün, hesaplanan teorik güce oranı türbin verimini göstermektedir. Şekil 5.3.'de 10m düşüde çalışan türbinin, debiye bağlı verim grafiği görülmektedir.



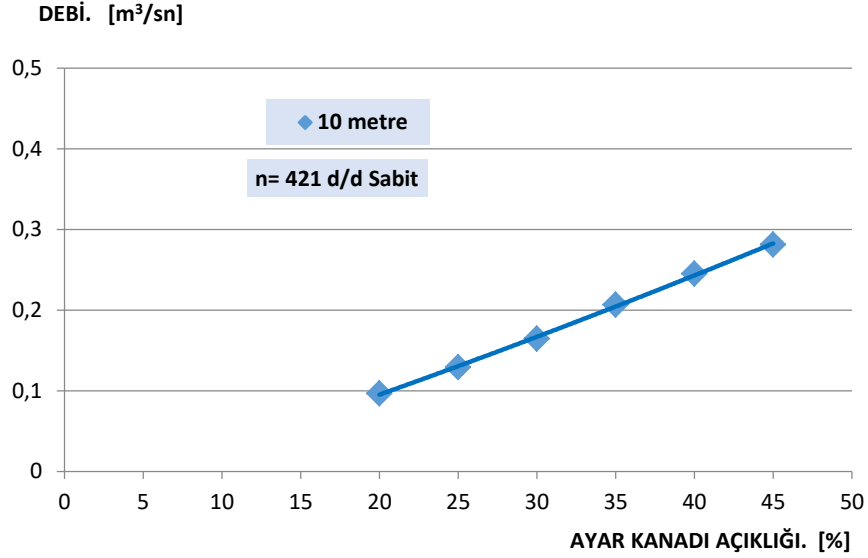
Şekil 5.3. H=10m düşüde debiye bağlı verim değişimi

Farklı düşülerde (15m, 20m, 30m, 40m) çalıştırılan banki türbininin debiye bağlı verim grafiği Şekil 5.4.'de verilmiştir.



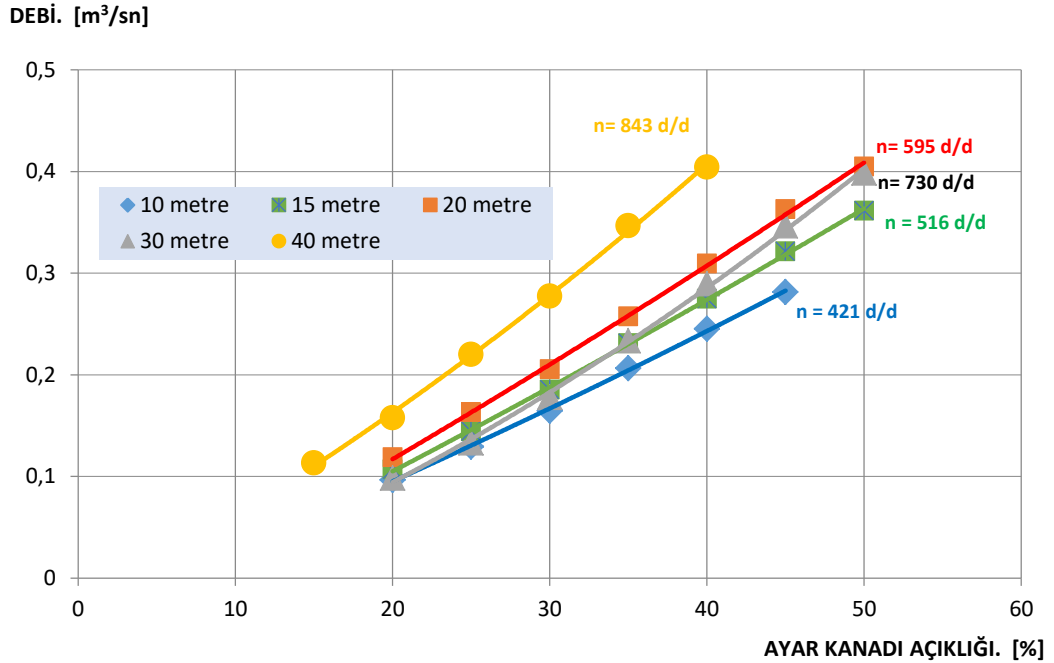
Şekil 5.4. Debiye Bağlı Verim Grafiği (10m, 15m, 20m, 30m, 40m Düşülerde)

Banki türbini H=10 metre düşü ve 421 d/d sabit devir sayısında, ayar kanadı açıklığına bağlı debi değişimi grafiği Şekil 5.5.'de verilmiştir.



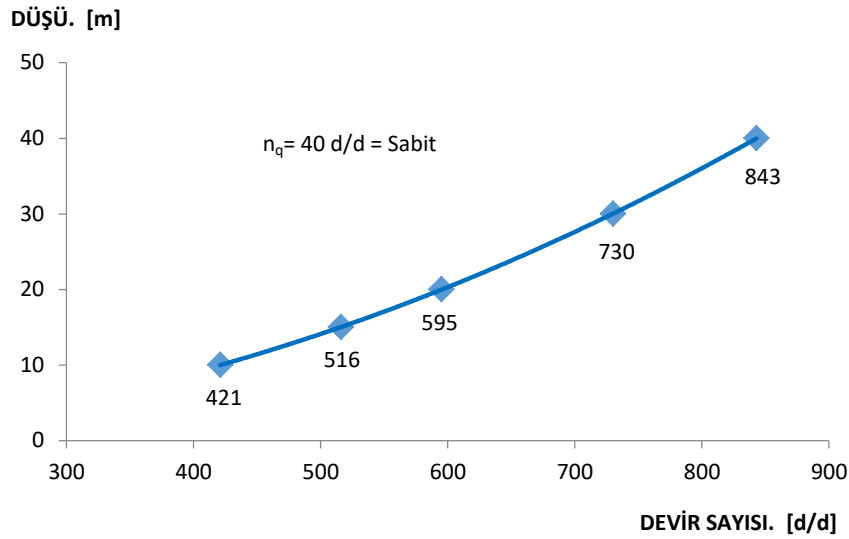
Şekil 5.5. H=10 m düşüde, ayar kanadı açıklığına bağlı debi değişimi

Farklı düşülerde çalıştırılan banki türbininin ayar kanadı açıklığına bağlı debi değişimi grafiği Şekil 5.6.'da verilmiştir.



Şekil 5.6. Ayar kanadı açıklığına bağlı debi değişimi (10m, 15m, 20m, 30m, 40m düşülerde)

Farklı düşülerde çalıştırılan banki türbininin, düşü ve devir sayısı değişimi grafiği Şekil 5.7.'de verilmiştir.



Şekil 5.7. Düşü - devir sayısı grafiği

Yapılan testler neticesinde düşük düşülerde çalıştırılan banki türbini verimi, yüksek düşülerde çalıştırılan banki türbininin verimine kıyasla giderek azaldığı, 10 metre düşüde maksimum verim değeri olan % 81,4 değerine ulaşılmasına rağmen, debinin $0,28 \text{ m}^3/\text{sn}$ değerini geçemediği gözlemlenmiştir. Ayrıca 40 metre düşüde türbinin, maksimum %68 verimde çalıştığı ölçülmüştür.

Testi yapılan Banki türbini, 15 metre düşüde çalıştırıldığında, türbinden maksimum $0,36 \text{ m}^3/\text{sn}$ debi ancak geçebilmiştir. Verim değeri maksimum %77,4 olarak ölçülmüştür.

Test merkezinde kullanılan santrifüj pompanın maksimum basma debisi $0,44 \text{ m}^3/\text{sn}$ olması nedeniyle banki türbini testleri en fazla $0,4 \text{ m}^3/\text{sn}$ debi değerine kadar yapılabilmektedir.

20 [m] düşü, $0,4 \text{ [m}^3/\text{sn]}$ debi ve %70 verim değeri alınarak tasarlanan banki türbini verim değeri % 74,5 olarak ölçülmüştür.

KAYNAKLAR

- [1] <http://www.enerji.gov.tr/tr-TR/Sayfalar/Hidrolik.>, Eriřim Tarihi: 10.10.2018.
- [2] <http://www.enerji.gov.tr/tr-TR/Sayfalar/Elektrik.>, Eriřim Tarihi: 10.10.2018.
- [3] <http://www.temsan.gov.tr/tr-TR/Sayfalar/AR-GE-Calismalari.>, Eriřim Tarihi: 31.10.2018.
- [4] <https://nonstopengineering.blogspot.com/2015/12/typical-layout-of-hydro-power-plant.html.>, Eriřim Tarihi: 31.10.2018.
- [5] Bařeřme H., Hidroelektrik Santraller ve Hidroelektrik Santral Tesisleri, Ankara 2003.
- [6] Ozer E.O., Bir Banki Trbininde Hesaplamalı Akıřkanlar Dinemięi İle Verim Analizi, Yksek Lisans Tezi, Gebze Yksek Tek. Ens., 2011.
- [7] zbay, E., Genoęlu, M.T., Hidroelektrik Santrallerin Modellenmesi, Yenilenebilir Enerji Kaynakları Sempozyumu, 2009, Diyarbakır, s.108-115.
- [8] Ozturk E., Bir Mikro Hidro Trbinin Tasarımı Analizi Ve Deneysel İncelenmesi, Doktora Tezi, Gazi niversitesi, 2012.
- [9] Kuhl K., Lai K., Lainel D., Kaplan Turbine, Term Project Colorado State University, 2014.
- [10] Banki D., A New Water Turbine, Ges. Turbinenwesen, 1918.
- [11] Macmore C.A., and Merryfield F., The Banki Water Turbine, Engineering Experiment Station, Oregon State Collage, 1949.
- [12] Varga, J. Tests with the Banki water turbine. Acta Tech. Acad. Hung. 1959, 26, 79–102.
- [13] Haimerl, L.A., The Cross-Flow Turbine Water Power, 1960: p. 5-13.
- [14] Verhaart P., Blade Calculations For Water Turbines Of The Banki Type, Eindhoven University of Technology, 1983.

- [15] Khosrowpanah S., Fiuzat A. A., and Alberston M. L., Experimental study of cross-flow turbine, *Journal of Hydraulic Engineering*, 1988.
- [16] Fiuzat A.A., ve Akerkar B.P., The use of interior guide tube in crassflow turbine, *Waterpower*. ASCE 1989, P:111-1119.
- [17] Venkappayya R. Desai and Nadim M. Aziz. An experimental investigation of cross-flow turbine efficiency. *Journal of Fluids Engineering*, 1994.
- [18] Costa Pereira N.H., ve Borges S.E., Study Of The Nozzle Flow In A Cross-Flow Turbine, Technical Universityof Lizbon, 1994.
- [19] V. Seshadri C. B. Joshi and S. N. Singh. Parametric study on performance of cross-flow turbine. *Journal of Energy Engineering*, 1995.
- [20] Hayati Olgun. Investigation of the performance of a cross-flow turbine. *International Journal of Energy Research*, 22(11):953–964, 1998.
- [21] Kaya M.A., Doktora Tezi, Değişken Debilerde yüksek verimde çalışan bir çapraz akış türbini geliştirilmesi, Kocaeli Üniversitesi 2011.
- [22] Adhikari R., ve Wood D., The Design of High Efficiency Crossflow HydroTurbines: A Review and Extension, University of Calgary, Canada, January 2018.
- [23] Durali, M. Design of Small Water Turbines for Farms and Small Communities. Ph.D. Thesis, Massachusetts Institute of Technology, Cambridge, MA, USA, 1976.
- [24] Dakers, A.; Martin, G. Development of a Simple Cross-flowWater Turbine for Rural Use. In *Agricultural Engineering Conference 1982: Resources, Efficient Use and Conservation; Preprints of Papers; Institution of Engineers, Canberra, Australia, 1982; p. 35.*
- [25] Johnson, W.; White, E.R.; White, F. Design and testing of an inexpensive crossflow turbine. In *Small Hydropower Fluid Machinery; ASME: New York, NY, USA, 1982.*
- [26] Nakase, Y.; Fukutomi, J.;Watanabe, T.; Suetsugu, T.; Kubota, T.; Kushimoto, S. A study of Cross-Flow turbine(Effects of nozzle shape on its performance). In *Proceedings of the Winter Annual Meeting ASME, Phoenix, AZ, USA, 14–19 November 1982; Volume 1419.*

- [27] Durgin,W.; Fay,W. Some fluid flow characteristics of a cross-flow type hydraulic turbine. In Small Hydro Power Fluid Machinery; ASME: New York, NY, USA, 1984; pp. 77–83.
- [28] Hothersall, R. A review of the cross-flow turbine. In Waterpower '85, Proceedings of the International Conference on Hydropower, Las Vegas, NV, USA, 25–27 September 1985; ASCE: New York, NY, USA, 1985.
- [29] Ott, R.F.; Chappell, J.R. Design and efficiency testing of a cross-flow turbine. In Waterpower'89, Proceedings of the International Conference on Hydropower, Niagara Falls, NY, USA, 23–25 August 1989; ASCE: New York, NY, USA, 1989; pp. 1534–1543.
- [30] Totapally, H.G.; Aziz, N.M. Refinement of Cross-flow Turbine Design Parameters. *J. Energy Eng.* 1994, 120, 133–147.
- [31] Haas, R., Hiebert, M., Hoatson, E., Colorado State University, CIVE 401 11/19/2014, Francis Turbines, Fundamentals and Everything Else You Didn't Know That You Wanted To Know
- [32] <http://hydroenergetica.com/en/hydoturbines/ossberger.>, Eriřim Tarihi: 02.11.2018.
- [33] Arter A., Meier U., *Hydraulics Engineering Manuel Volume 2, Harnessing Water Power on a Small Scale* , SKAT 1990 ISBN:3-908001-13-7.
- [34] Arsan A., Design, Construction And Performance Evaluation Of A Banki Trbine, A Master's Thesis, Middle East Tec. Uni., December 1985.
- [35] T12 Cross Flow Turbine Design And Engineering Equipment, Entec Consulting and Engineering,1995.
- [36] Yazıcı H.F., *Su Makinaları Problemleri, Teori ve Uygulamaları*, İstanbul Tek. Üni., Haziran 1983, Ktphane Sayı: 1254.
- [37] Nasir B.A., *Designe Of High Cross Flow Trbine For Hydro Powwer Plant*, IJEAT ISSN 2249 Vol 2 Issue-3 Feb. 2013.

EKLER

EK A: Basınç sensörü teknik bilgileri



Specifications

Pressure Ranges (all intermediate ranges possible)

PR-21 Y	2...30 bar FS
PAA-21 Y / PA-21 Y	2...1000* bar FS
Overpressure	2 x pressure range, max. 1100 bar

PAA: Absolute, Zero at vacuum PA: Sealed Gauge, Zero at 1000 mbar abs. PR: Vented Gauge, Zero at atmospheric pressure * Measuring range > 600 bar only suited for static applications

Accuracy ¹⁾		typ. $\pm 0,25$ %FS	max. $\pm 0,5$ %FS
Total Error Band ²⁾	0...50 °C	max. $\pm 1,0$ %FS	
	-10...80 °C	max. $\pm 1,5$ %FS	

¹⁾ Linearity (best fitted straight line) + Hysteresis + Repeatability ²⁾ Accuracy + Temperature Coefficient + Zero + Span Tolerance

Storage-/Operating Temperature -40...100 °C

Stability	PR-Version	max. $\pm 0,5$ %FS
	PAA/PA-Version	max. $\pm 0,3$ %FS

Type	2-Wire	3-Wire	3-Wire
Signal Output	4...20 mA	0...10 V	0,5...4,5 V
Limitation Signal Output	3,2...22,3 mA	-1,2...11,2 V	0,1...4,9 V
Supply	8...32 VDC	13...32 VDC	8...32 VDC
Load Resistance	< (U-9 V) / 0,025 A	> 5 k Ω	> 5 k Ω
Limiting Frequency	2 kHz	2 kHz	2 kHz
Power Consumption		max. 5 mA	max. 4 mA

Electrical Connection - Plug: M12 (4-pole), Packard, mPm
- Cable

Pressure Connection G1/4" male, G1/8" male, 7/16"-20 UNF male and female

Response Time (Supply ON) (0...99 %) < 5 ms

Isolation > 10 M Ω @ 300 VDC

EMC EN 61000-6-2: 2005 / EN 61000-6-3: 2007 / EN 61326-2-3: 2006

Dead Volume Change < 0,1 mm³

Material in Media Contact - Stainless Steel AISI 316L (1.4404/1.4435)

- Viton[®] Seal external (-20...200 °C, no internal seals)

Protection Class M12-/Packard-Plug: IP67 (with corresponding mating plug)

mPm-Plug: IP65 (with corresponding mating plug)

Cable: IP54

Weight \approx 38 g (G1/8") \approx 50 g (G1/4")

Endurance > 10 million cycles, 0...100 %FS at 25 °C

Oil Filling Silicone oil

Options

Temperature Range Other temperature ranges on request. Maximal range: -40...+120 °C

Oil Filling Fluorocarbon oil (C₂-compatible), olive-oil, lowest temperature oil (-55 °C)

Pressure Connection, Electrical Connection Others on request

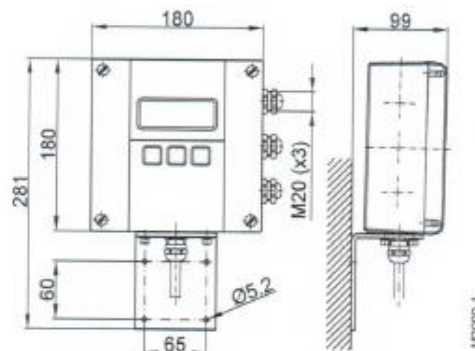
EKB: Debimetre teknik bilgileri

Technical data

Page 45/51

7.4 Meter type M2000

Technical data	
Type	M2000
Auxiliary power	85 – 265 VAC, 45 – 65 Hz Optional 9 - 36 VDC
Analog output	0/4 – 20 mA, \leq 800 Ohm
Digital outputs	Flow direction is displayed via separate status output 4 freely configurable open collector outputs Active 24 V, 50 mA or Passiv 30 VDC, 100 mA max. frequency of 10 kHz Optional 2 solid state relais 48 VAC, 500mA Pulse, limit, preselector, status, error messages
Digital inputs	Totalizers and preselectors reset Positive Zero Return
Fluid monitoring	Separate electrode
Configuration	3 buttons
Interface	RS 232/RS485 ModBus [®] RTU, HART, Profibus DP, M-Bus
Measuring range	0.03 to 12 m/s
Measuring accuracy	\pm 0,2% of m.v. \pm 1 mm/s
Reproducibility	0,1%
Flow direction	Bidirectional
Pulse length	Configurable up to 2000 msec.
Outputs	Short-circuit-proof and galvanically separated
Low flow cutoff	0 – 10%
Display	LCD, 4 lines/20 digits, backlight, actual flow rate, totalizers, status display
Datalogger	Optional 32 MB/10.000 data records
Store/Restore	Optional memory for detector and amplifier data
Body	Powder-coated alu die casting
Protective class	IP 67
Cable inlet	Supply and signal cables 3 x M20
Signal cable	From meter M20
Ambient temperature	-20 to + 60°C

Dimensions
M2000[®]

EK C: Devir Sensörü Teknik Bilgileri

Product data sheet Characteristics

XS630B1MBL2
inductive sensor XS6 M30 - L62mm - brass -
Sn15mm - 24..240VAC/DC - cable 2m



Main

Range of product	OsiSense XS
Series name	General purpose
Sensor type	Inductive proximity sensor
Device application	-
Sensor name	XS6
Sensor design	Cylindrical M30
Size	62 mm
Body type	Fixed
Detector flush mounting acceptance	Flush mountable
Material	Metal
Type of output signal	Discrete
Wiring technique	2-wire
[Sn] nominal sensing distance	15 mm
Discrete output function	1 NC
Output circuit type	AC/DC
Electrical connection	Cable
Cable length	2 m
[Us] rated supply voltage	24...240 V AC/DC (50/60 Hz)
Switching capacity in mA	5...200 mA DC 5...300 mA AC
IP degree of protection	IP68 double insulation conforming to IEC 60529 IP69K conforming to DIN 40050

Complementary

Thread type	M30 x 1.5
Detection face	Frontal
Front material	PPS
Enclosure material	Nickel plated brass

Dec 11, 2018

Operating zone	0...12 mm
Differential travel	1...15% of Sr
Cable composition	2 x 0.34 mm ²
Wire insulation material	PvR
Status LED	1 LED (yellow) for output state
Supply voltage limits	20...264 V AC/DC
Residual current	<= 0.8 mA, open state
Switching frequency	<= 25 Hz AC <= 500 Hz DC
Voltage drop	<= 5.5 V, closed state
Delay first up	<= 25 ms
Delay response	<= 0.5 ms
Delay recovery	<= 2 ms
Marking	CE
Threaded length	52 mm
Length	62 mm
Product weight	0.205 kg

Environment

Product certifications	CSA UL
Ambient air temperature for operation	-25...70 °C
Ambient air temperature for storage	-40...85 °C
Vibration resistance	25 gn, amplitude: +/- 2 mm (f = 10...55 Hz) conforming to IEC 60068-2-6
Shock resistance	50 gn (duration = 11 ms) conforming to IEC 60068-2-27

Offer Sustainability

Sustainable offer status	Green Premium product
RoHS (date code: YYWW)	Compliant - since 0811 - Schneider Electric declaration of conformity Schneider Electric declaration of conformity
REACH	Reference not containing SVHC above the threshold Reference not containing SVHC above the threshold
Product environmental profile	Available Product environmental
Product end of life instructions	Available End of life manual

Contractual warranty

Warranty period	18 months
-----------------	-----------

ÖZGEÇMİŞ

Faruk KOÇ, 07.08.1984'de Ankara'da doğdu. İlk, orta ve lise eğitimini Ankara'da tamamladı. 2002 yılında Nermin Mehmet Çekiç Anadolu Lisesi'nden mezun oldu. 2003 yılında başladığı Kocaeli Üniversitesi Makine Mühendisliği Bölümü'nü 2008 yılında bitirdi. 2008 yılında Sakarya Üniversitesi Makine Mühendisliği Bölümü'nde yüksek lisans eğitimine başladı. 2010 yılında T.C. Enerji ve Tabii Kaynaklar Bakanlığı (TEMSAN) Türkiye Elektromekanik Sanayi A.Ş.'de Makine Mühendisi olarak çalışmaya başladı akabinde yüksek lisans eğitimine Sakarya Üniversitesi Makine Mühendisliği Bölümü'nde devam etti. Halen TEMSAN A.Ş.'de Başmühendis olarak görev yapmaktadır.